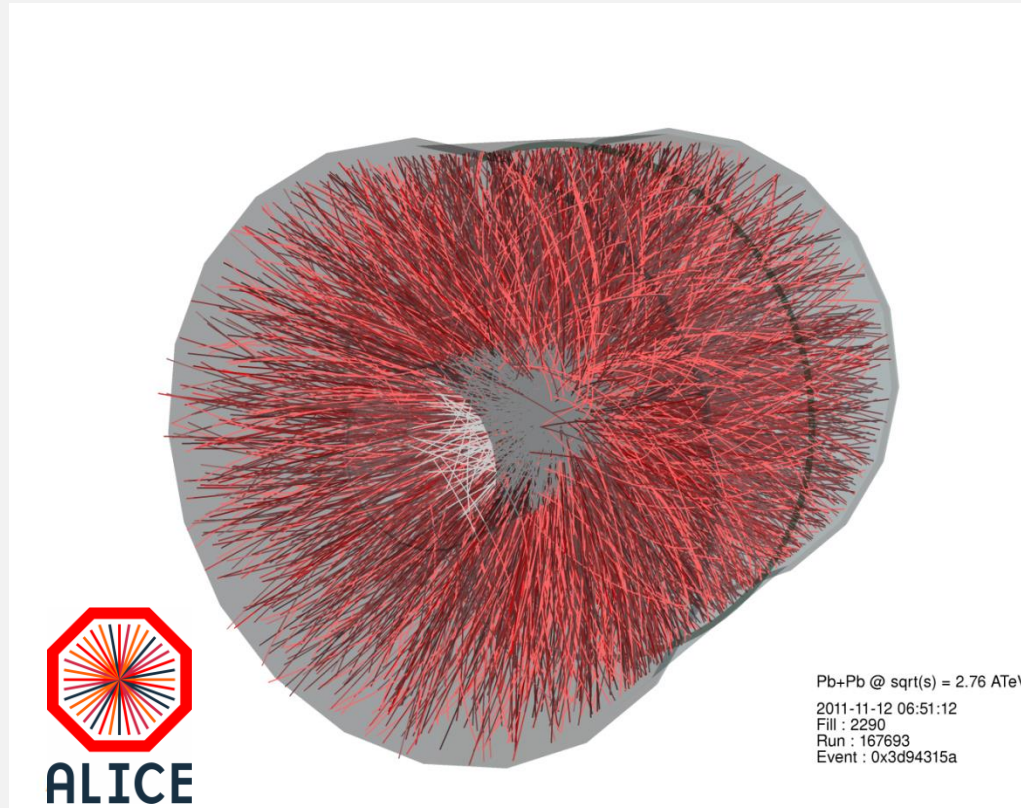
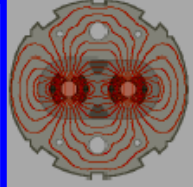
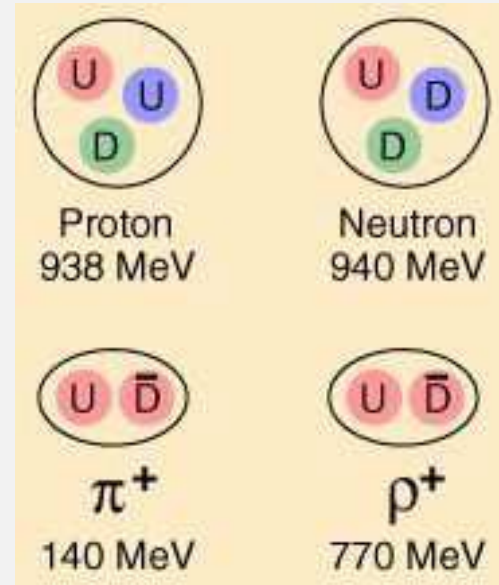
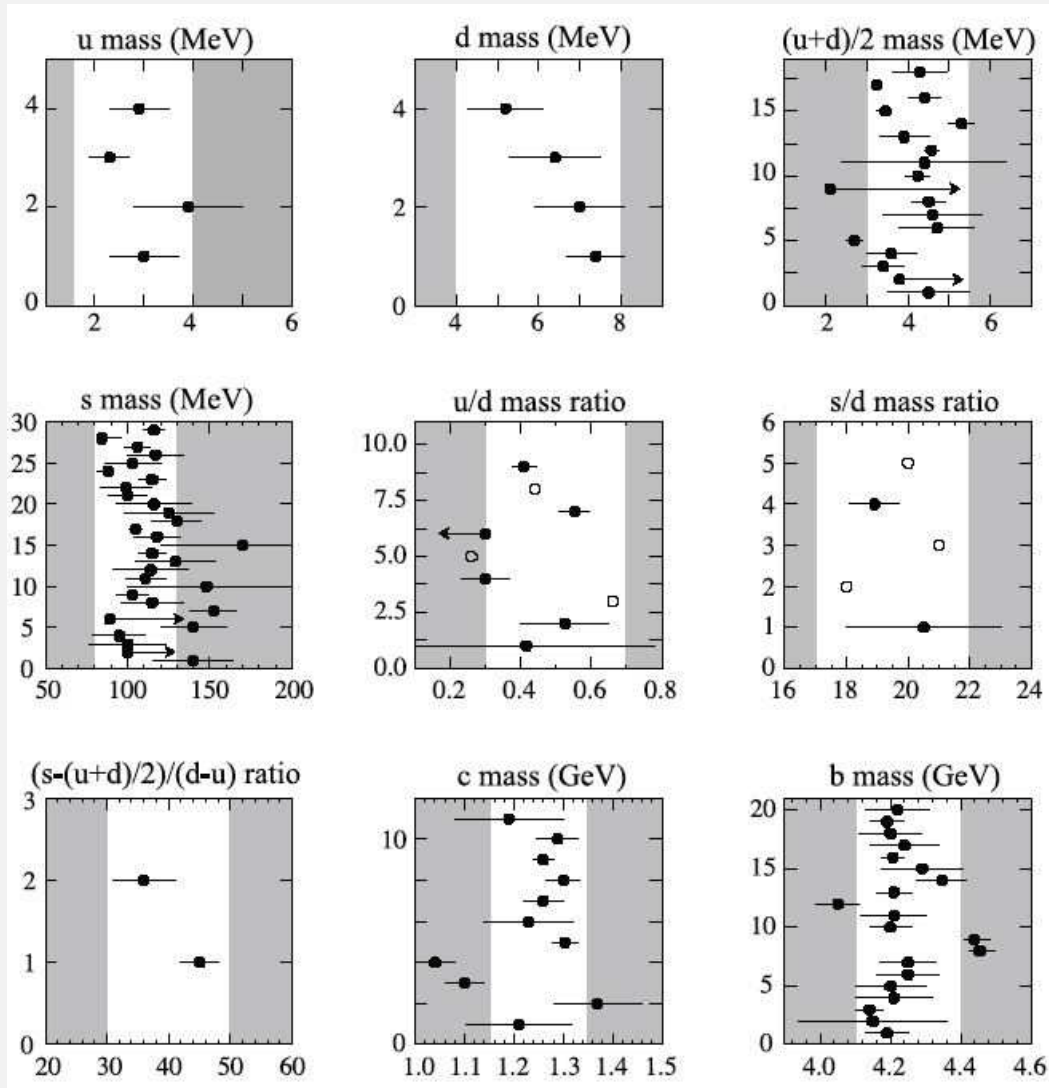
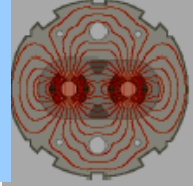


Fyzika s t'azkými iónmi alebo malý tresk

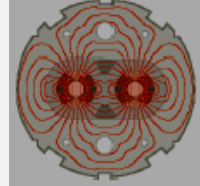


Karel Šafařík, CERN

Hmotnosť nukleónov



Σ hmotnosti kvarkov ~
 ~ 1 % hmotnosti p/n !
väzbová energia



Vákuum v QED a QCD

kvantová elektrodynamika: QED
kvantová chromodynamika: QCD

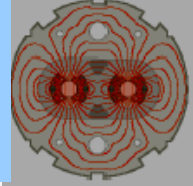
- ◆ **Energia páru nábojov spontánne narodených vo vákuu – kvantová fluktuácia ($\hbar = 1, c = 1$):**

$$E_{\text{kin}} = p \sim 1/r \quad (p \times r \geq 1)$$

$$E_{\text{pot}} = -q^2/(4\pi r) \quad (q = e \text{ or } q = g_s)$$

$$E = E_{\text{kin}} + E_{\text{pot}} = (1/r) \times (1 - q^2/4\pi)$$

- ◆ **v QED toto je pravda pre lubovlonú “škálu” (už po Planckovu “škálu” $\sim 10^{-20}$ fm)**
- ◆ **v QCD to je však správne len pre veľmi malé vzdialenost', niekoľko fm (10^{-13} cm)**



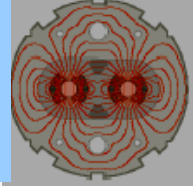
◆ v QED

$$q^2 = e^2 = 4\pi\alpha_{em}$$

- α_{em} sa mení zo vzdialenosťou (polarizácia vákua)
- kde pre veľké vzdialenosti $\alpha_{em} = 1/137$
- pri EW (elektro-slabej) škále ($r = 2 \times 10^{-3}$ fm) $\alpha_{em} = 1/128$
- pri Planckovej “škále” ($r = 10^{-20}$ fm) $\alpha_{em} = 1/76$

◆ To znamená, že číselný faktor pred $1/r$: $(1 - q^2/4\pi)$ sa mení zo vzdialenosťou, ale

- len málo, medzi 0.987 – 0.993 (i.e. **0.6%**) ak meníme vzdialenosť od Planckovej “škály” až po nekonečno...



◆ v QCD

$$q^2 = g_s^2 = 4\pi\alpha_s$$

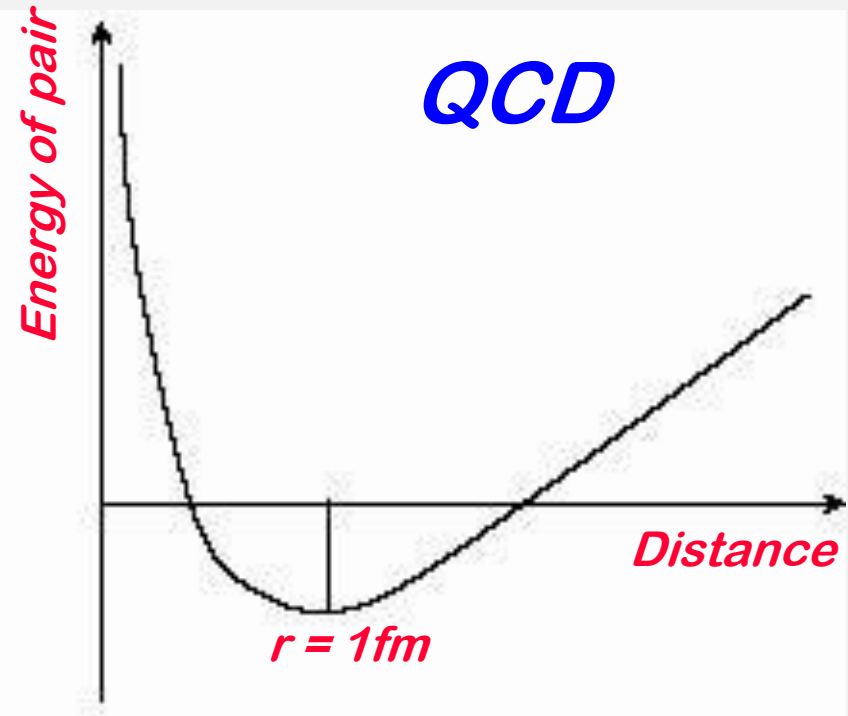
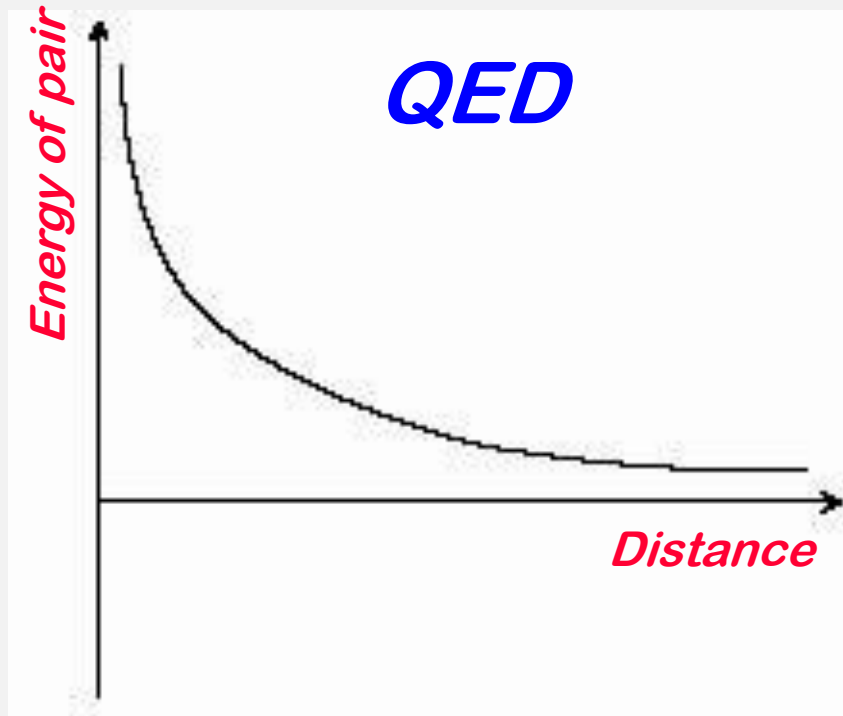
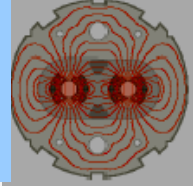
- kde α_s sa znižuje veľmi rýchlo so vzdialenosťou (asymptotická sloboda)
- pri Planckovej škále $\alpha_s = 0.04$
- pri elektro-slabej škále $\alpha_s = 0.118$
- pri $\Lambda_{\text{QCD}} \approx 0.2\text{GeV}$ ($r \approx 1\text{ fm}$) $\alpha_s \approx 1$

◆ numerický faktor $(1 - q^2/4\pi) = 1 - \alpha_s$

- sa znižuje so vzdialenosťou, pri Planckovej škále je 0.96
- ale pozor, pre $r \approx 1\text{ fm}$ už je záporný !

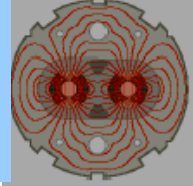
◆ pri väčších vzdialenostiach je $E = \sigma \times r$ ($\sigma \approx 1\text{ GeV/fm}$)

- a tento faktor je opäť kladný



Kinetická energia stále dominuje nad potenciálnou (pole je slabé) virtual páry

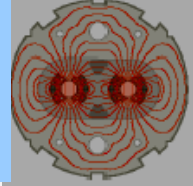
Energia skrytá v poli prevázi pri nejakej vzdialenosti kinetickú reálne páry – vakuový kondensát



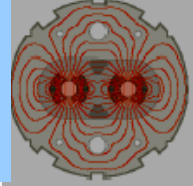
- ◆ **QCD má dve približné symetrie:**
 - Z_3 –(centre) symetriu (pre čisto kalibračnú teoer, v limite $m_q \rightarrow \infty$)
 - chirálnu symetriu (obnovenú pre nulové hmotnosti, t.j. $m_q \rightarrow 0$)

- ◆ **Pri veľkých hustotách a teplotách sa nakoniec**
 - Z_3 –symetria naruší (prechod od confinementu k deconfinementu)
 - chirálna symetria obnoví (chirálny fázový prechod)

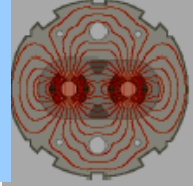
- ◆ **Otázky:**
 - existuje jeden spoločný fázový prechod alebo dva nezávislé?
 - akého druhu je tento (tieto) fázový(é) prechod(y)
 - **prvého druhu (má latentné teplo) ?**
 - **druhého druhu (len zlom) ?**
 - **alebo je to len cross-over prechod ?**



- ◆ **Pre $m_q \rightarrow 0$ helicity kvarkov sa zachováva**
 - pretože gluóny majú helicity ± 1 QCD teória v tejto limite má $SU(3)_L \times SU(3)_R$ symetriu
 - QCD svet sa rozpadol na dva svety ktoré navzájom nekomunikujú – lavácky svet a pravácky
 - ak dáme do QCD vákuu nehmotný lavotočivý kvark, on môže anihilovať s lavotočivým anti-kvarkom z vákuového kondenzátu – tým sa ale oslobodí pravotočivý kvark
 - pre vzdialeného pozorovateľa náš testový kvark spontánne zmenil helicitu a preto musel nejakú získať dynamickú hmotnosť !
 - QCD kvark—anti-kvarkový kondenzát generuje dynamickú kvarkovú hmotnosť a narušuje chirálnu symetriu
 - ak zvýšime teplotu kinetická energia nabitého páru (nad nejakou hodnotou) prevýši potenciálnu energiu
 - kvark—anti-kvark kondenzát zmizne z vákuu
 - chirálna symetria sa obnoví nad nejakou kritickou teplotou
 - hodnota $\langle 0 | \bar{q}q | 0 \rangle$ je “order parameter” fázového prechodu

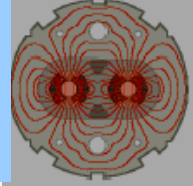


- ◆ **hmotné kvarky v čisto gluónovom vákuume pri nulovej teplote**
 - nie sú viditeľné detektorom kvôli deštruktívnej interferencii
 - expectation hodnota pre stopu kvarkového propagátoru – 3–hodnotový path integrál s rôznymi fázami
$$\exp(i \times 2\pi j/3), \quad j=1,2,3 \quad (\text{generátory } Z_3)$$
 - zvyšujú teploty T až po nejakú hodnotu toto zostane tak
 - až pokiaľ gluónové pole bude mať dostatok času sledovať (koherentný rearrangement) náš testový farebný náboj
 - Dalšie zvýšenie teploty (nad nejakú kritickú hodnotu) gluónové pole nebude mať dostatok času
 - Interferencia troch ciest sa naruší
 - test farebný náboj sa stane detekovateľný, bude deconfinovaný
 - Toto sa dá spočítať analytickým predĺžením kvarkového propagátoru v komplexnom case ($t = +i/T$) – Polyakov loop – ktorý sa stane nenulovým pre $T > T_c$
 - Polyakov loop je “order parameter” fázového prechodu

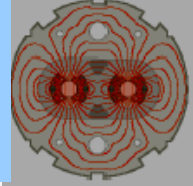


- ◆ **Obidve symetrie sú narušené dynamicky**
 - Z_3 symmetria je narušená kinetickou energiou (pri vysokej T)
 - order parameter (Polyakov loop) je nulový pod T_c a nenulový nad
 - je to “order – disorder” fázový prechod, Z_3 je narušená nad T_c
 - chirálna symetria je narušená potenciálnou energiou (pri nízkej T)
 - order parameter (kvark—anti-kvarkový kondenzát) je nenulový pod T_c a nulový nad
 - je to “disorder – order” fázový prechod, chirálna symetria je obnovená nad T_c

- ◆ **Obidve sú však narušené aj explicitne – hmotnosťou**
 - pre malost' m_q je reálne že scénar ohľadom chirálnej symetrie zostane dobrým priblížením
 - ale čo so Z_3 symetriou, prečo nie je úplne zničená malost'ou m_q ?



- ◆ **Ked sa snažíme znížiť m_q z nekonečna na ich vlastnú (malú) hodnotu to čo sa stane závisí od teploty:**
 - pri nízkych teplotách m_q sa efektívne prestane znižovať keď prideme pod dynamickú hmotnosť kvarku $M_q \approx 350 \text{ MeV}$ pretože chirálna symetria je narušená
 - Z_3 symetria zostane približnou symetriou pri nízkych teplotách aj po takomto tvrdom pokuse o explicitné narušenie
 - narušenie chirálnej symetrie efektívne zvyšuje hmotnosti kvarkov a preto riadi obnovenie Z_3 symetrie
 - toto je argument preto, aby obidva fázové prechody nastali v tom istom bode



◆ uvážme

- fázu v confinemente (hadronový plyn, HG) z piónov
- deconfinovanú fázu (kvark—gluónovú plazma, QGP) z gluónov a dvoch typov (vôní) kvarkov
- stavové rovnica pre ideálny plyn

$$\varepsilon = (g/30) \pi^2 T^4, \quad p = \varepsilon/3 = (g/90) \pi^2 T^4$$

$$\text{kde } g = n_b + (7/8) n_f$$

- pre HG $n_b = 3, n_f = 0$

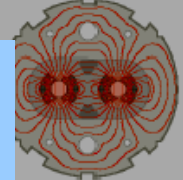
$$p_{\text{HG}} = (1/30) \pi^2 T^4$$

- pre QGP: $n_b = 16, n_f = 24$ ale teraz máme aj vonkajší tlak od QCD vákua B

$$p_{\text{QGP}} = (37/90) \pi^2 T^4 - B$$

- na hranici dvoch fáz – tlak musí byť rovnaký

$$T_c = (90B/34\pi^2)^{1/4} = 144 \text{ MeV} \quad \text{pre } B^{1/4} = 200 \text{ MeV (MIT bag model)}$$



- ◆ pri nenulovej baryónovej hustote – prvý rád p-QCD

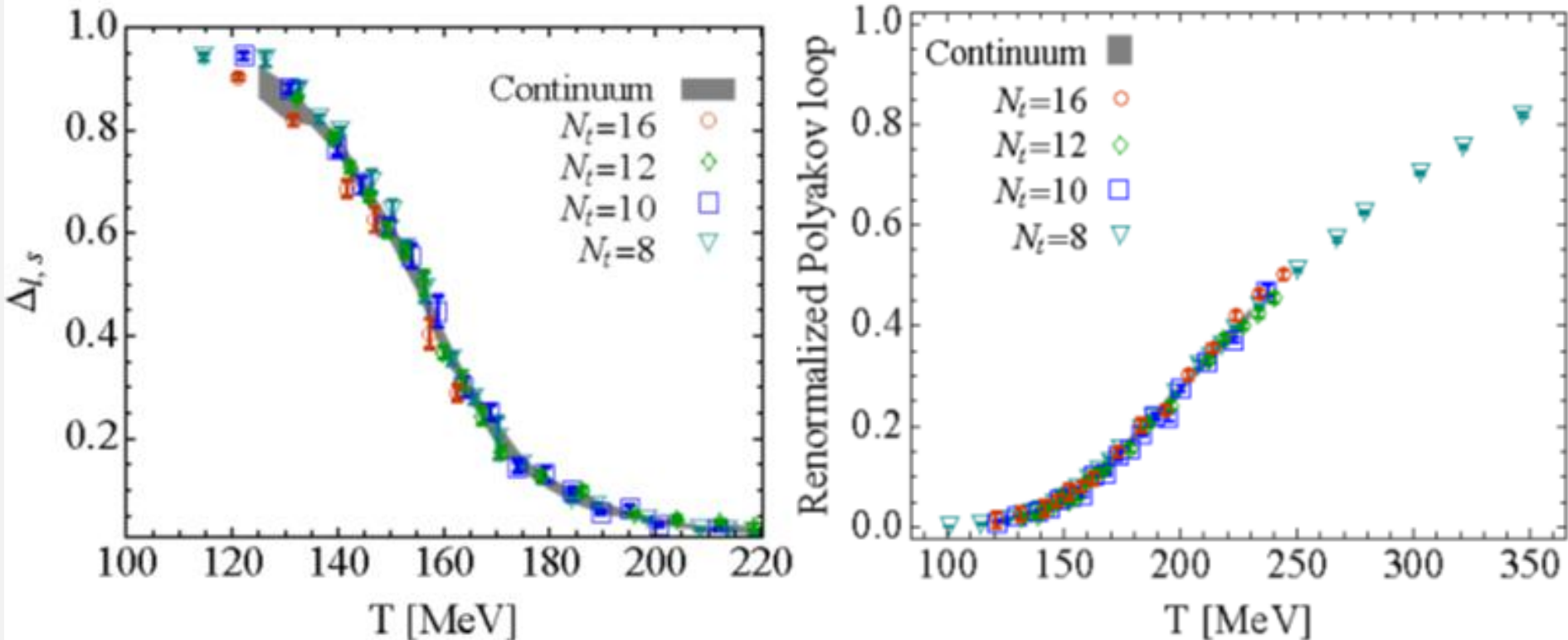
$$\varepsilon = [16(1 - 15\alpha_s/4\pi) + (7/8)12n_q(1 - 50\alpha_s/21\pi)] (1/30) \pi^2 T^4 + \sum_q 16(1 - 15\alpha_s/2\pi) (3/\pi^2) \mu_q^2 (\pi^2 T^4 + \mu_q^2/2)$$

(pre $\mu_q = 0$, $\alpha_s = 0$, a $n_q = 2$ dostaneme náš hračkársky model)

použijúc $\alpha_s = 0.4$ tou istou cestou dostaneme $T_c = 164$ MeV

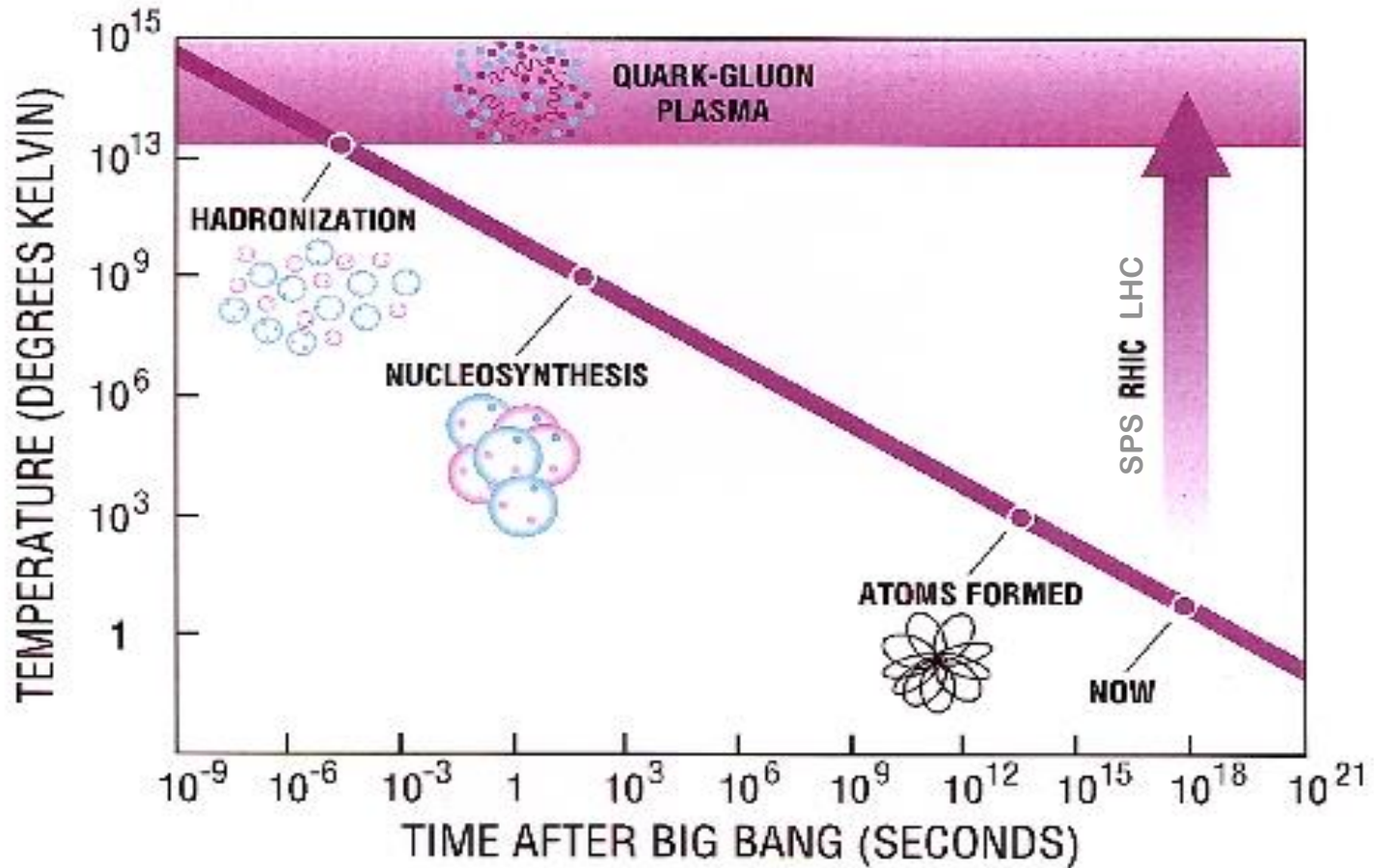
- ◆ Dnes analytické výpočty existujú aj pre vyššie rády

Lattice QCD at high temperature

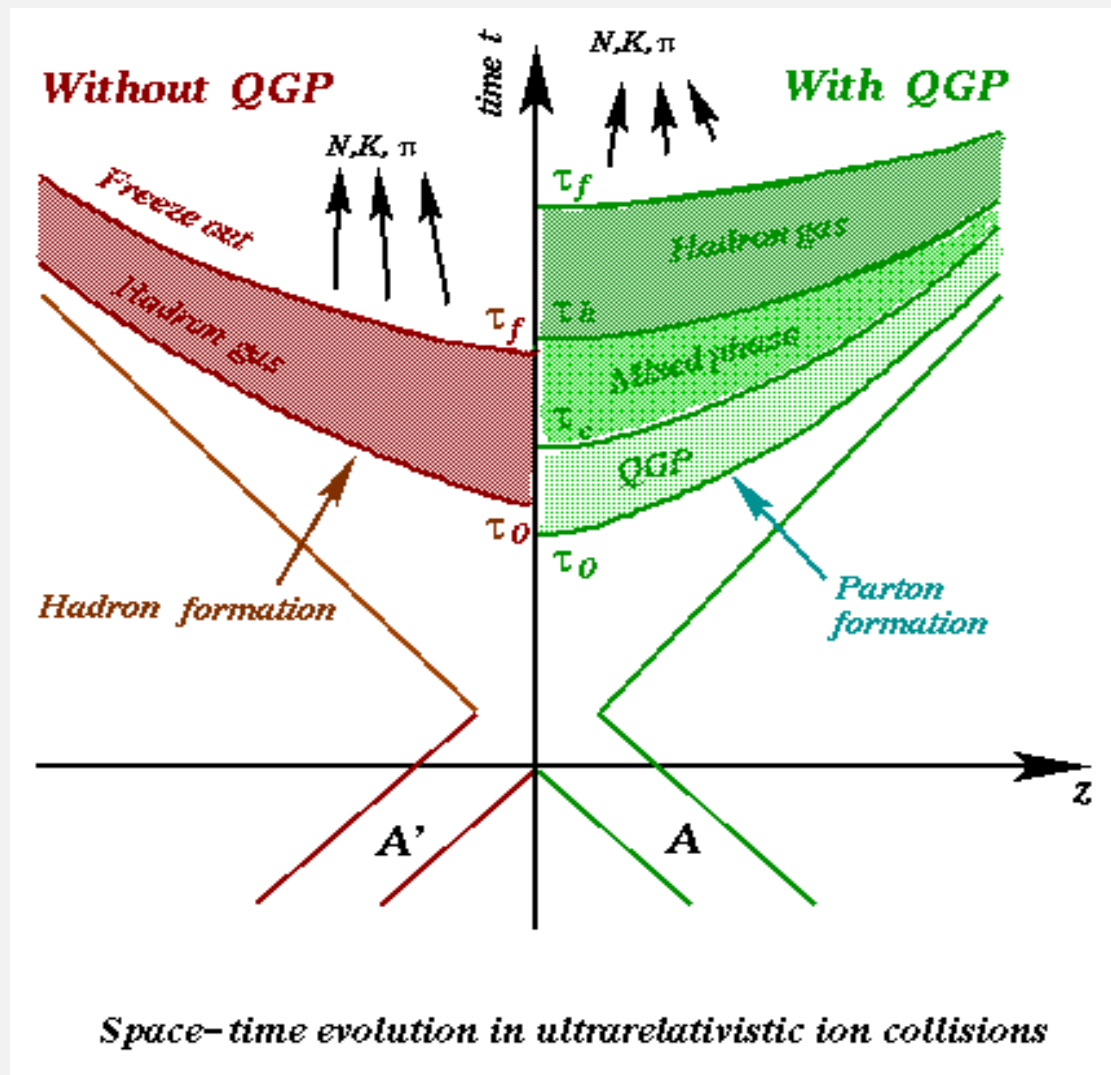


- Order parameters of QCD phase transitions:
 - quark – antiquark vacuum condensate
 - chiral phase transition in limit $m_q \rightarrow 0$
 - expectation value of Polyakov loop
 - deconfinement phase transition in limit $m_q \rightarrow \infty$

Big Bang



Priestorovo-časový vývoj



R_{AA} and v_n – definitions

- R_{AA} – ratio of p_T spectrum in AA collisions to that in pp – properly normalized by number of binary collisions

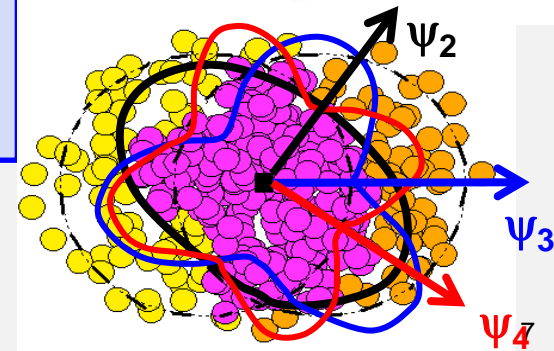
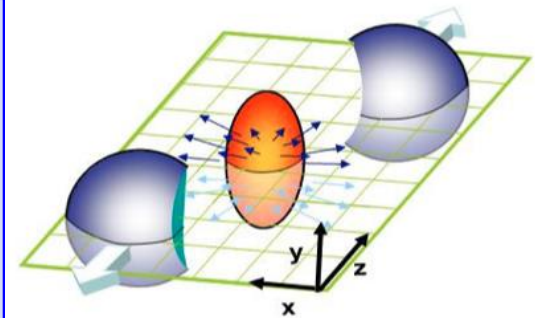
$$R_{AA} = \frac{(d\sigma/dp_T)_{AA}}{N_{\text{bin}}(d\sigma/dp_T)_{pp}} = \dots$$

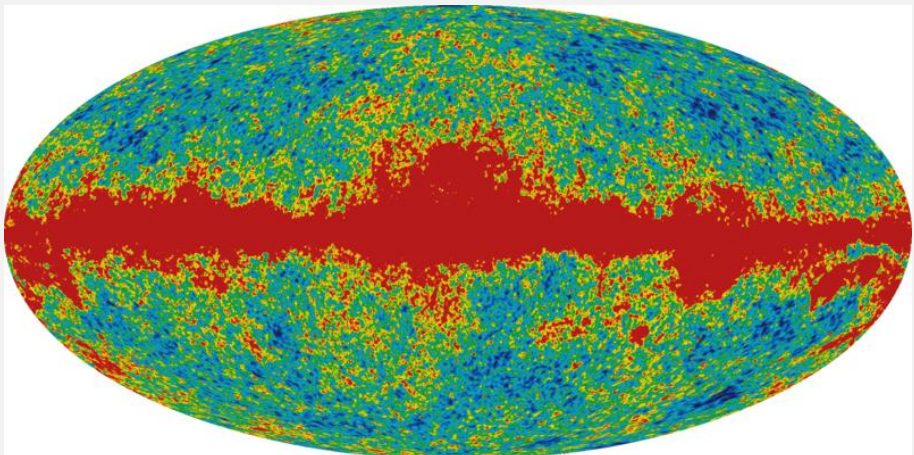
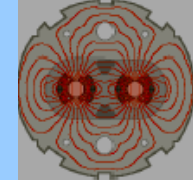
if AA would be just a superposition of pp collisions $R_{AA} = 1$

- v_n – Fourier coefficients of particle distributions in azimuthal angle φ with respect to n -th reaction plane

$$\frac{dN}{d\varphi}(\dots) \propto 1 + 2 \sum_{n=1}^{\infty} v_n \cos n(\varphi - \psi_n)$$

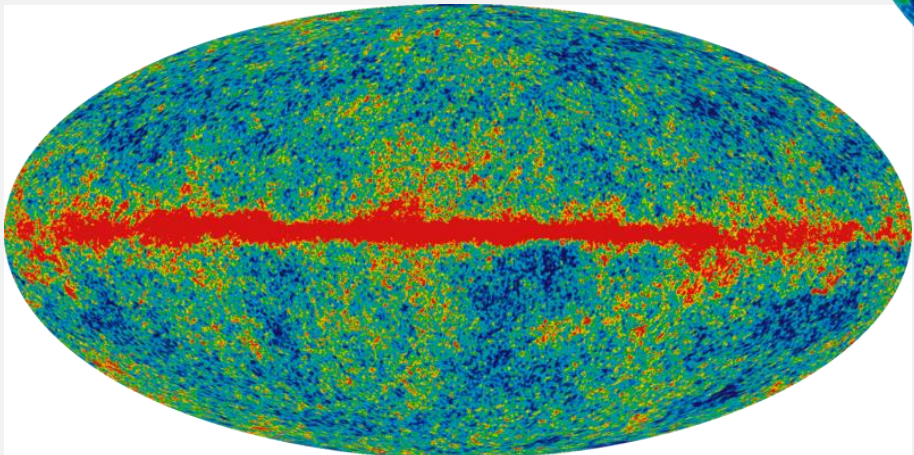
$v_n = 0$ would mean azimuthally symmetric distribution



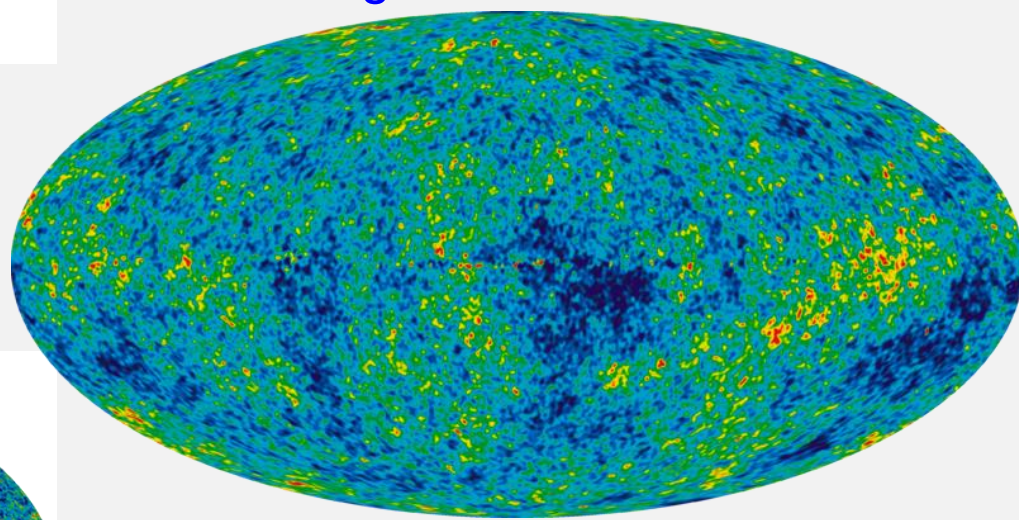


33 GHz with foreground

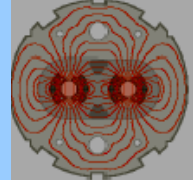
94 GHz with foreground



Final result, 7-years data
foreground subtracted



Inhomogeneities $\sim 10^{-4} - 10^{-5}$



◆ CMB power spectrum

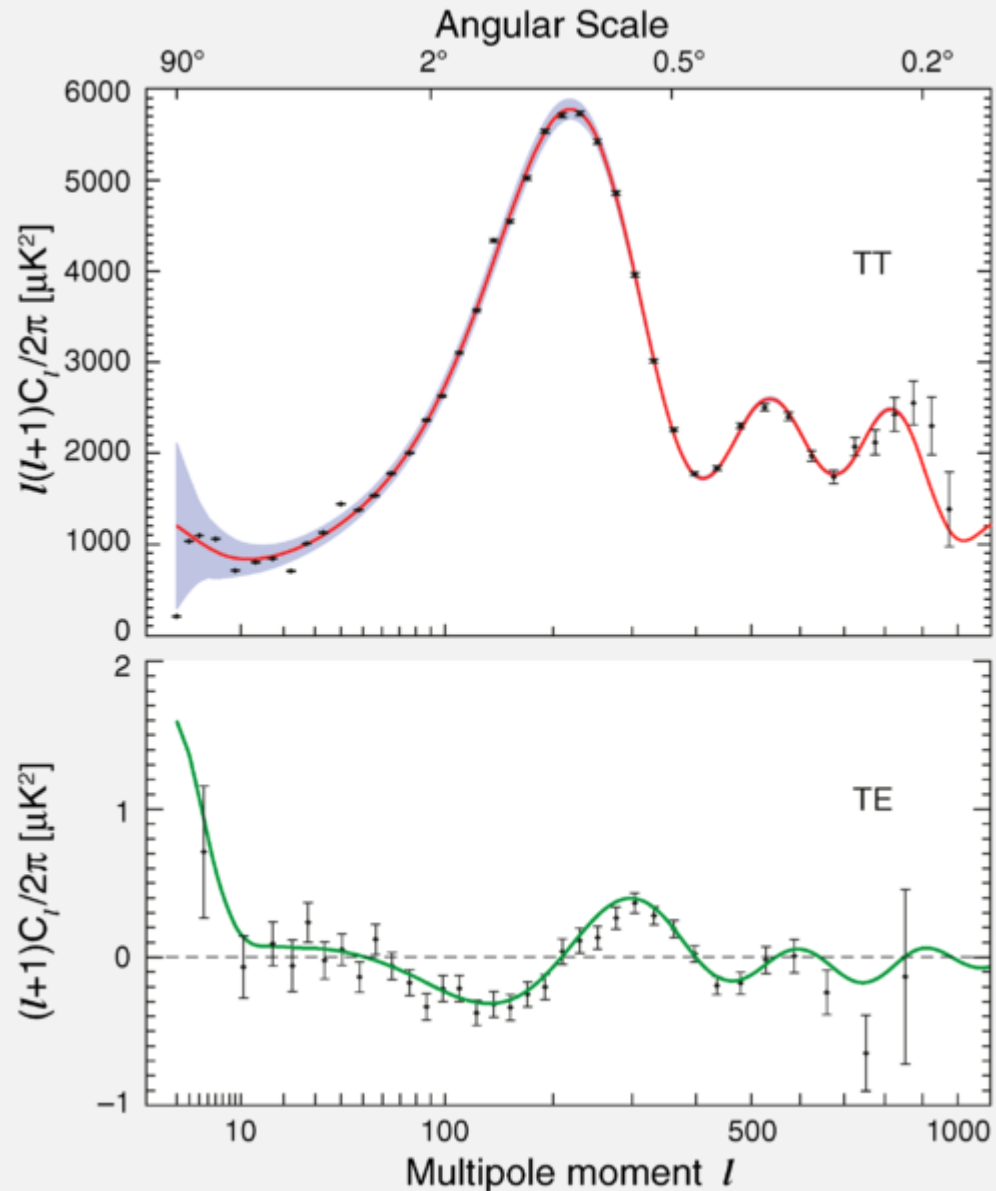
dipole moment gives our velocity 627 ± 22 km/s

age of the Universe $13.75 \pm 0.11 \times 10^9$ years

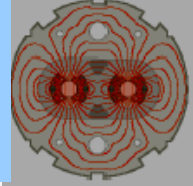
total density of the Universe $1.0023^{+0.0056}_{-0.0054}$

Hubble's constant $70.4^{+1.3}_{-1.4}$ (km/s) / Mpc

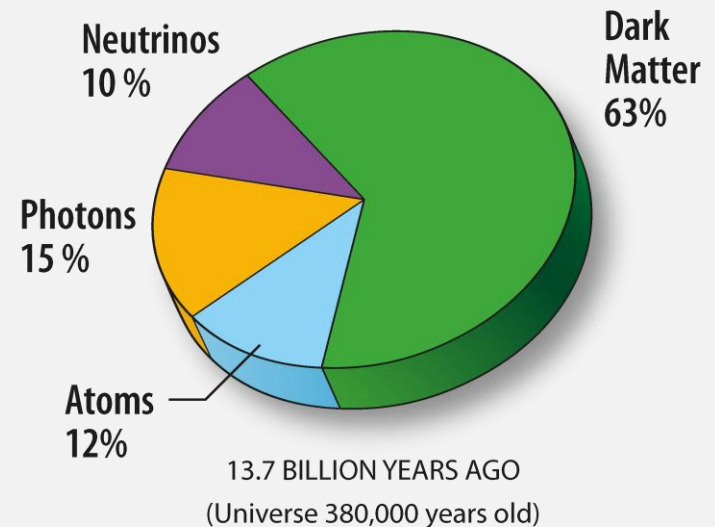
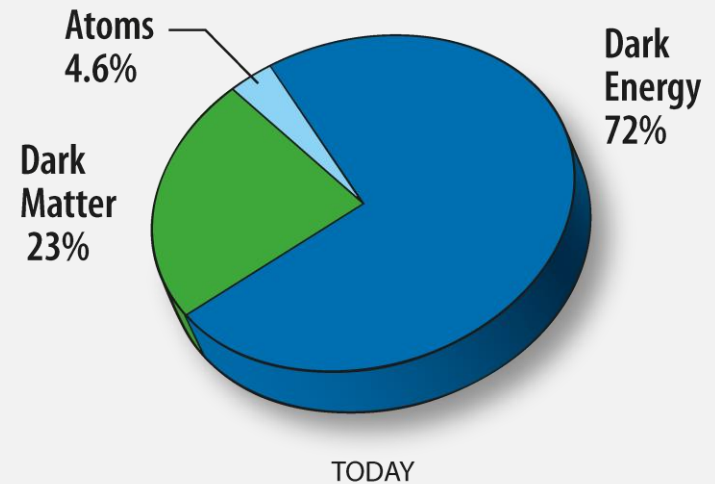
CMB temperature 2.725 K

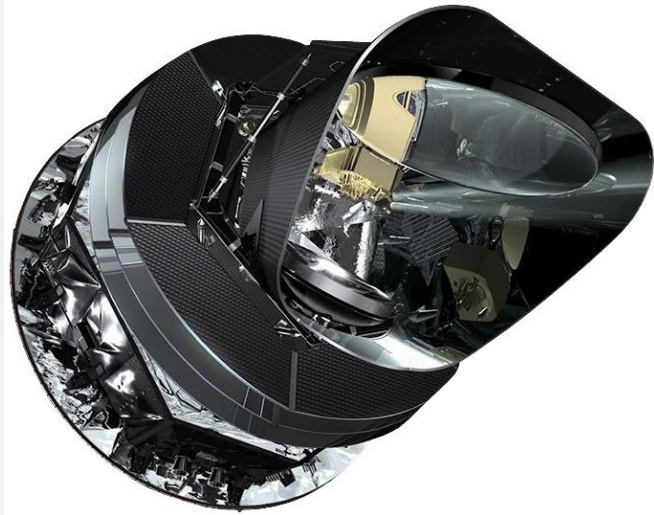
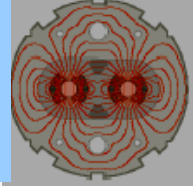


Composition of matter



- ◆ today 72% of matter of the Universe – dark energy
- ◆ before $\sim 7 \times 10^9$ years the Universe accelerated its expansion
- ◆ vacuum energy? scalar field? cosmological constant?
- ◆ 23% is (cold) dark matter, what is it?

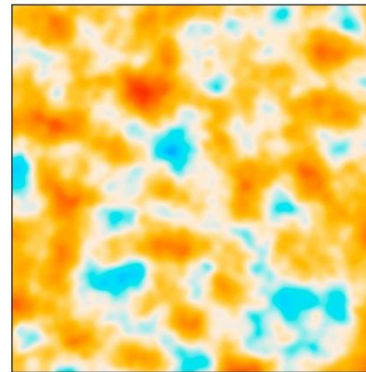




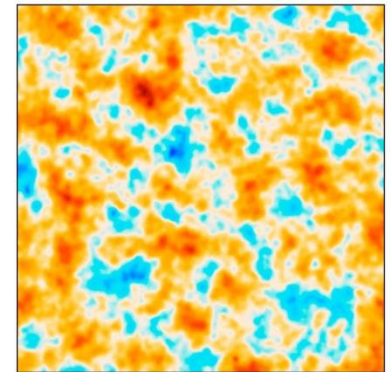
Porovnanie rozlíšania:
10 x lepšie rozlíšenie než WMAP
9 frequency band (WMAP 5)



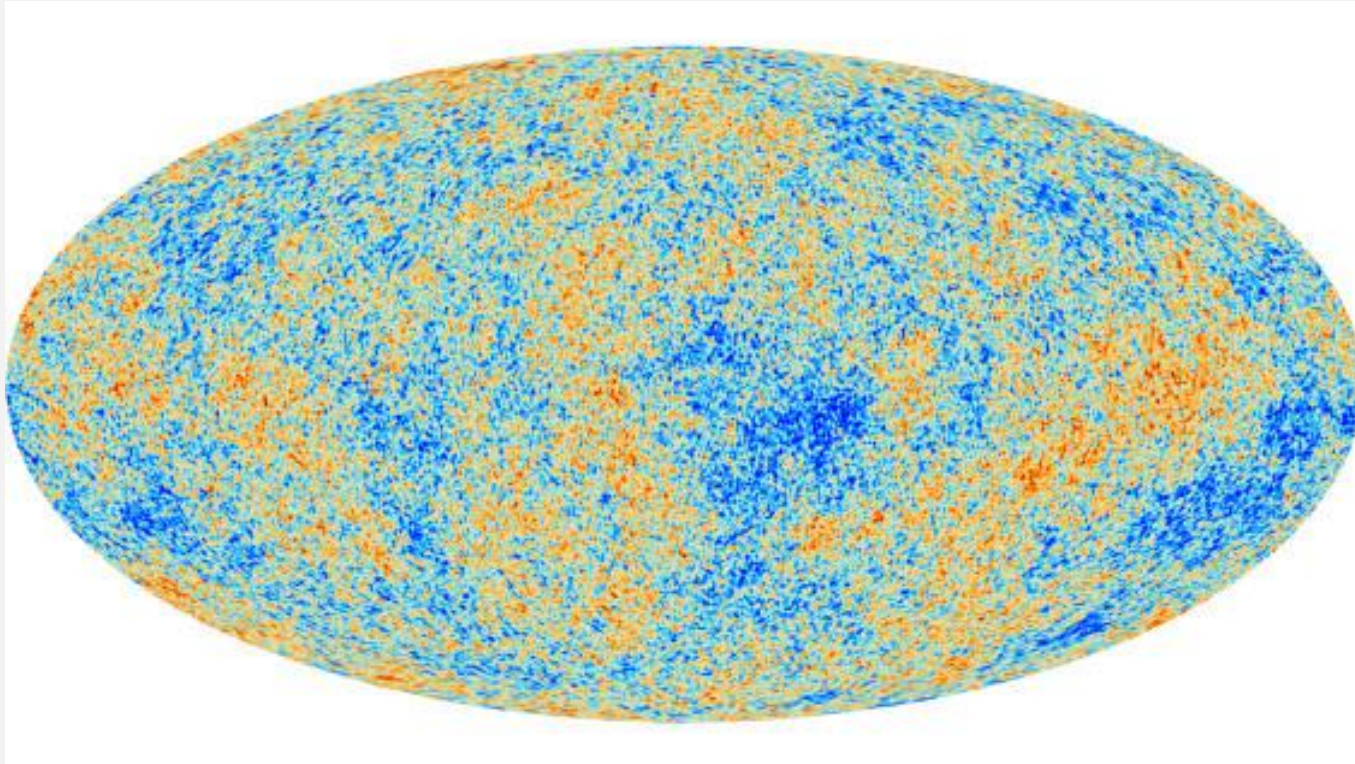
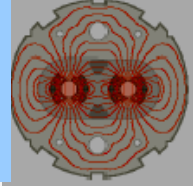
COBE



WMAP



Planck

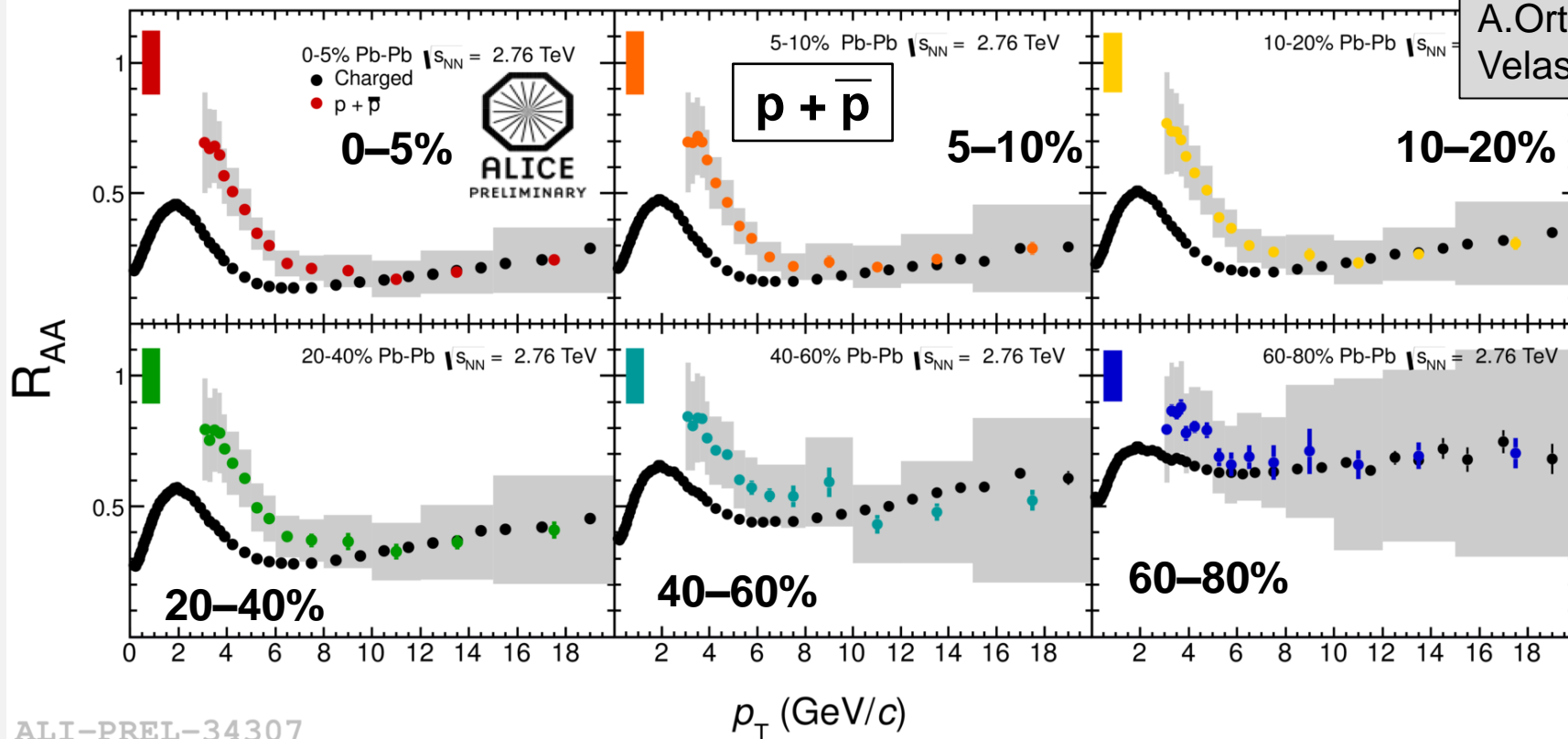


Age of Universe: $13.798 \pm 0.037 \times 10^9$ years
Hubble constant: 67.80 ± 0.77 (km/s)/Mpc
Ordinary matter: 4.9 %
Dark matter: 26.8 %
Dark energy: 68.3%

Identified particles at intermediate p_T

● charged particles ● ● ● ● ● different centralities for identified particles

Talks by
M.Ivanov
A.Ortiz
Velasquez

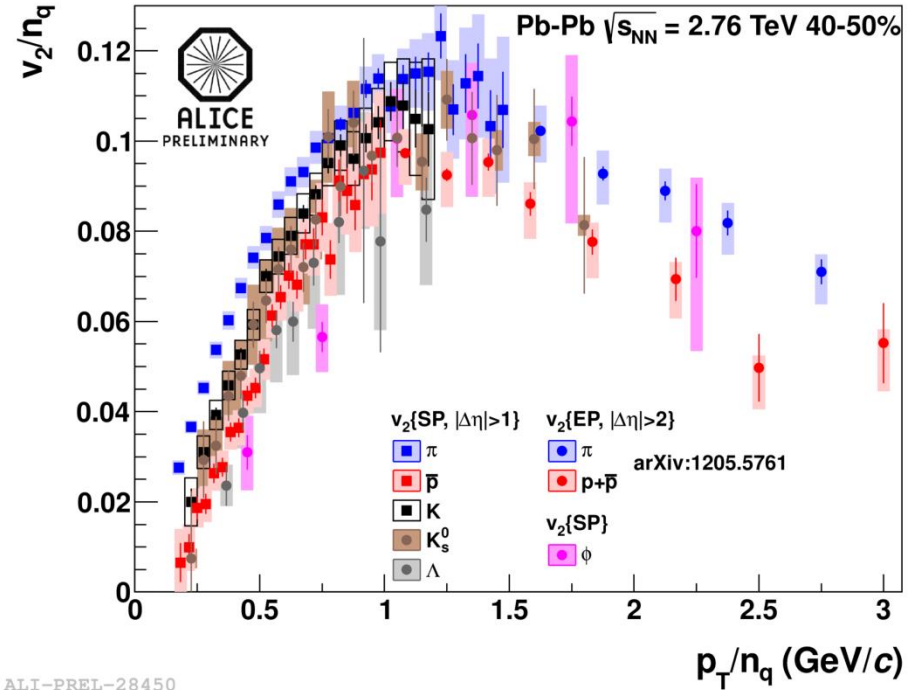
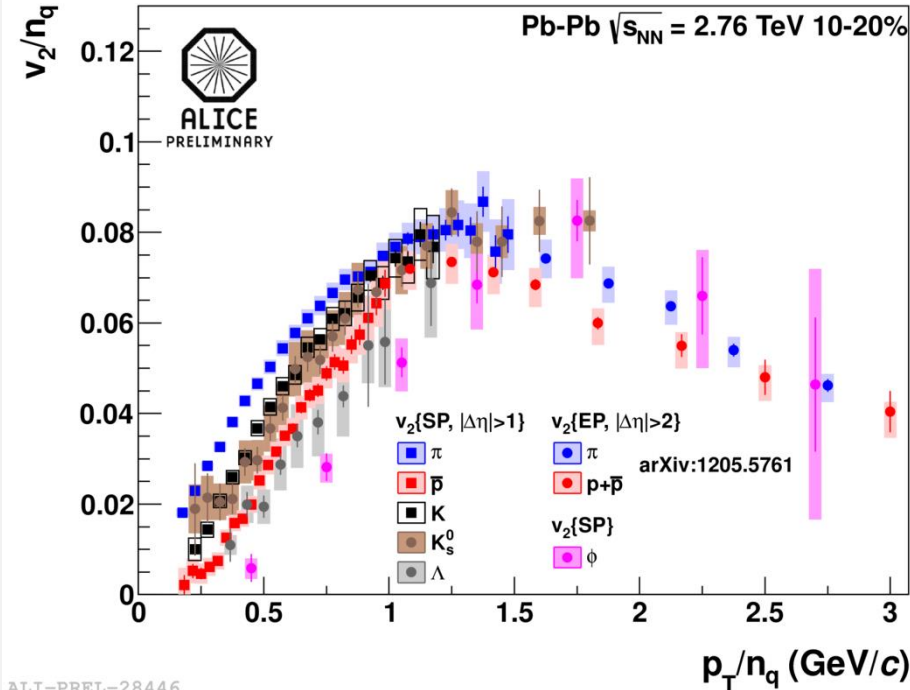


ALI-PREL-34307

For p_T below ~ 7 GeV/c: $R_{AA}(\pi) < R_{AA}(h^\pm)$, $R_{AA}(K) \approx R_{AA}(h^\pm)$, $R_{AA}(p) > R_{AA}(h^\pm)$

At higher p_T : R_{AA} are compatible

Identified-particle v_2



v_2 for π , p , K^\pm , K_s^0 , Λ , ϕ (not shown for Ξ , Ω)
 ϕ at low p_T (<3 GeV/c) follows mass hierarchy
 – at higher p_T joins mesons
 overall qualitative agreement with hydro up to
 p_T 1.5–3 GeV/c (π – p); quantitative precision
 needs improvements – hadronic afterburner

$v_2\{\text{SP}, \Delta\eta >1\}$	$v_2\{\text{EP}, \Delta\eta >2\}$
■ π	● π
■ \bar{p}	● $p+\bar{p}$
■ K	
■ K_s^0	$v_2\{\text{SP}\}$
● Λ	● ϕ

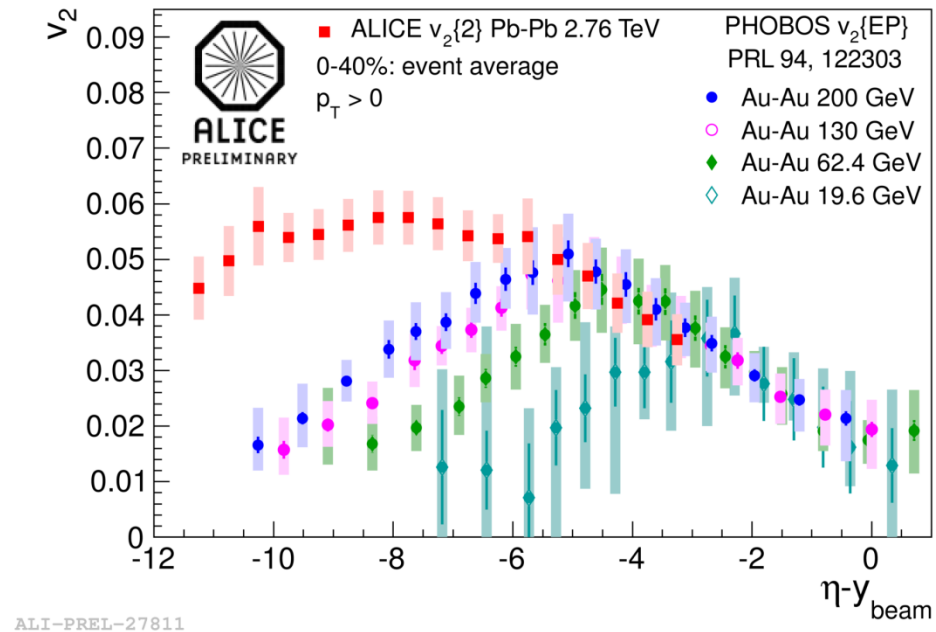
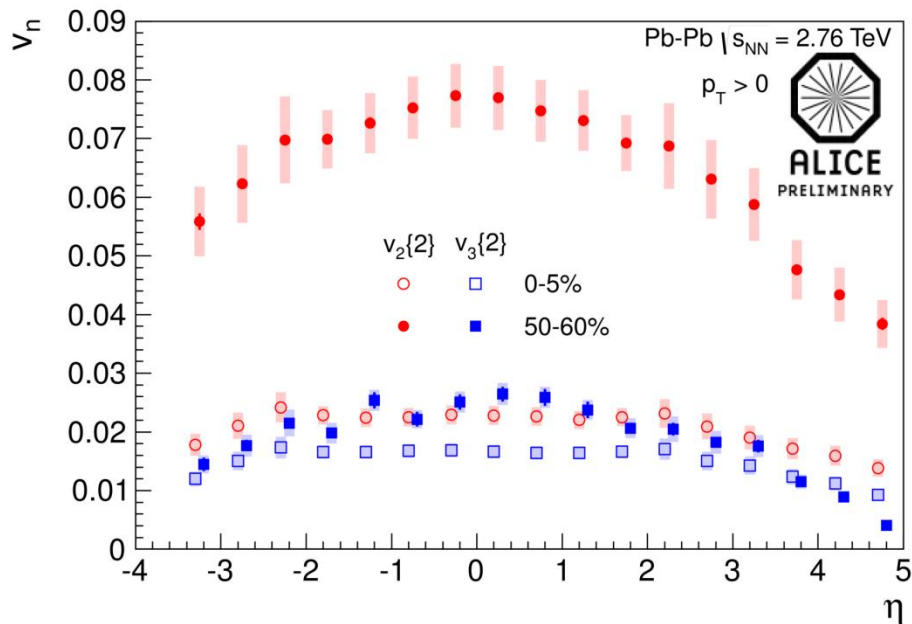
arXiv:1205.5761

Talks by
 S.Voloshin
 F.Noferini

$n_q(m_T)$ -scaling worse than at RHIC

$n_q(p_T)$ -scaling at $p_T > 1.2$ GeV/c violation 10–20%

v_2 and v_3 versus η



ALI-PREL-28033

ALI-PREL-27811

v_2 and v_3 measurements extended up to $\eta = 5$
observed plateau in pseudorapidity ($|\eta| < 2$)
very good agreement between ALICE and CMS for v_2 in $|\eta| < 2.4$

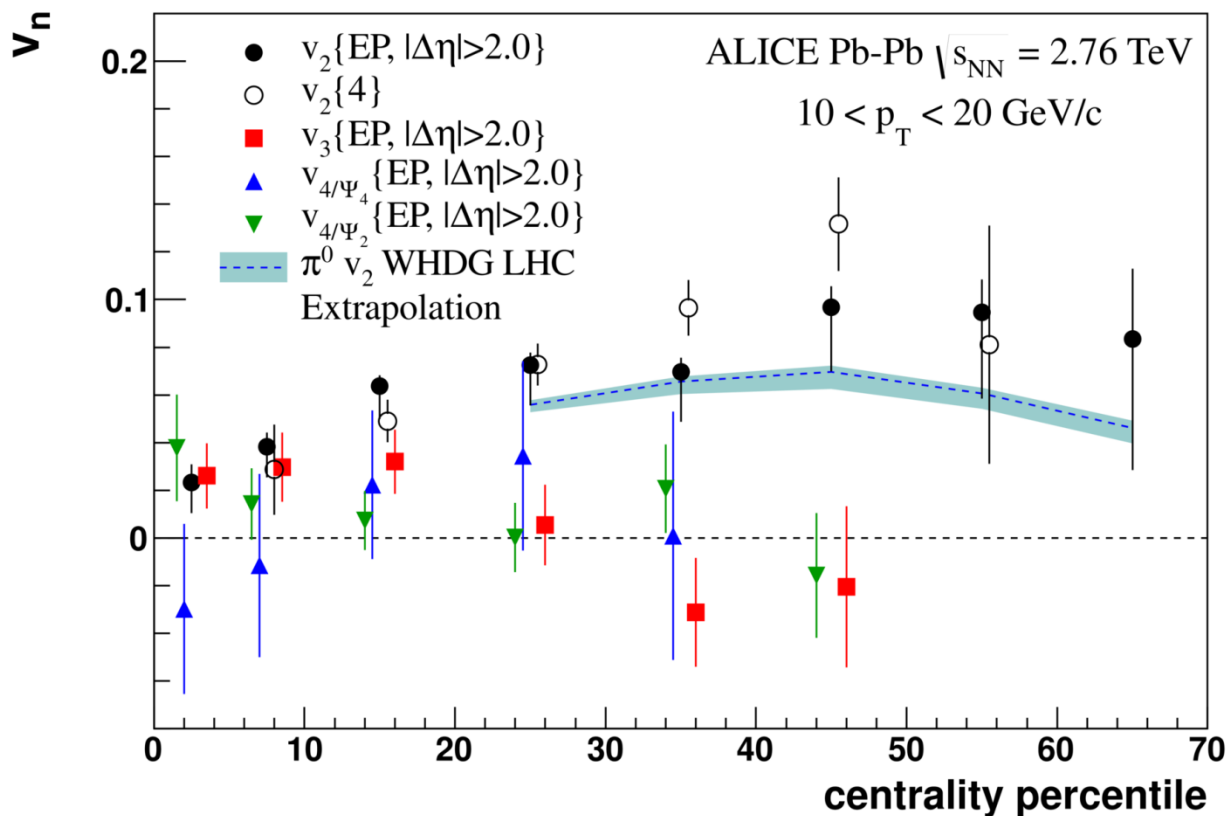
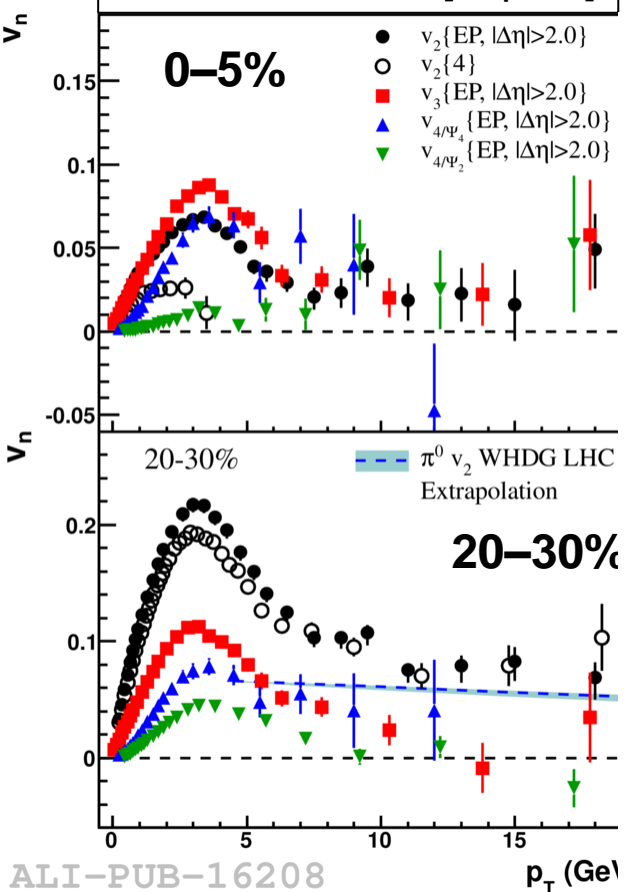
Talks by
S.Voloshin
A.Hansen

consistent with longitudinal scaling in $\eta - y_{beam}$ with PHOBOS data

V_2, V_3, V_4 versus p_T

arXiv:1205.5761 [hep-ex]

W.Horowitz, M.Gyulassy, J.Phys. G38 124114

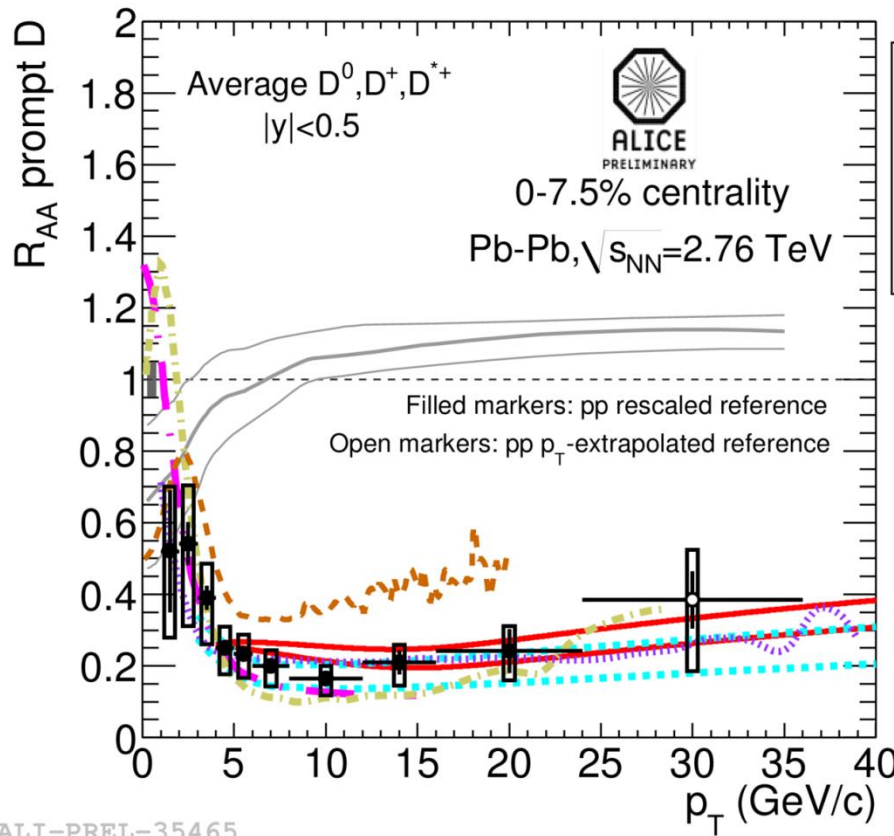


v_n measurements up to 20 GeV/c – where dominated by jet quenching
 Non-flow effects suppressed by rapidity gap or using higher cumulants
 Non-zero value of v_2 at high p_T both for $\Delta\eta > 2$ and 4-particle cumulant

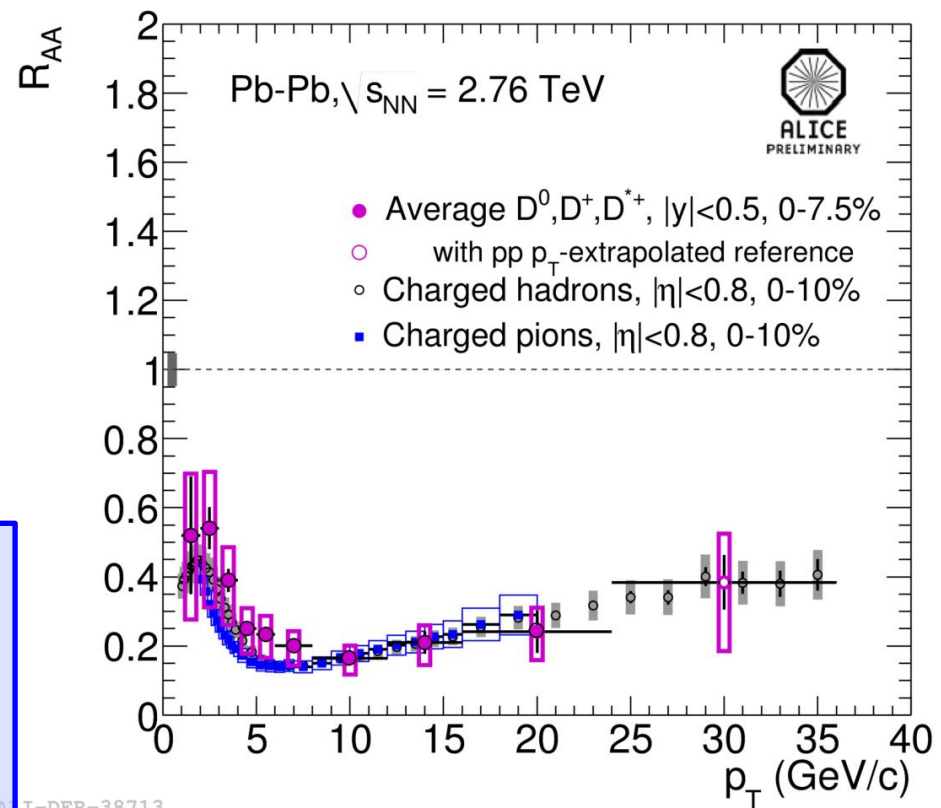
Talk by
S.Voloshin

v_3 and v_4 diminish above 10 GeV/c – indication of disappearance of fluctuations at high p_T

D meson R_{AA}



Talks by
Z. Conesa del Valle
A. Grelli



ALI-PREL-35465

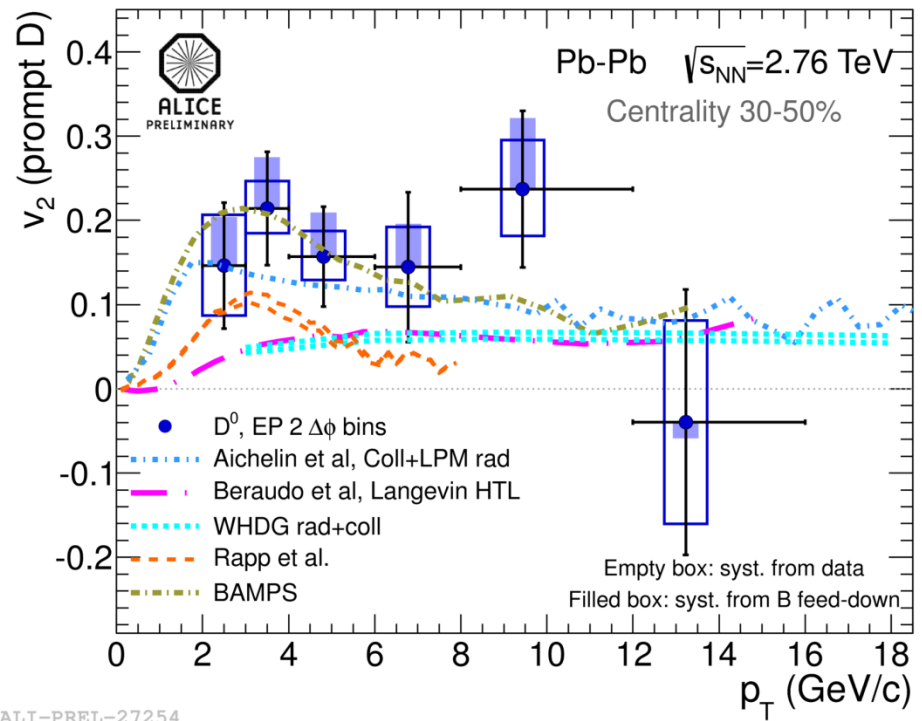
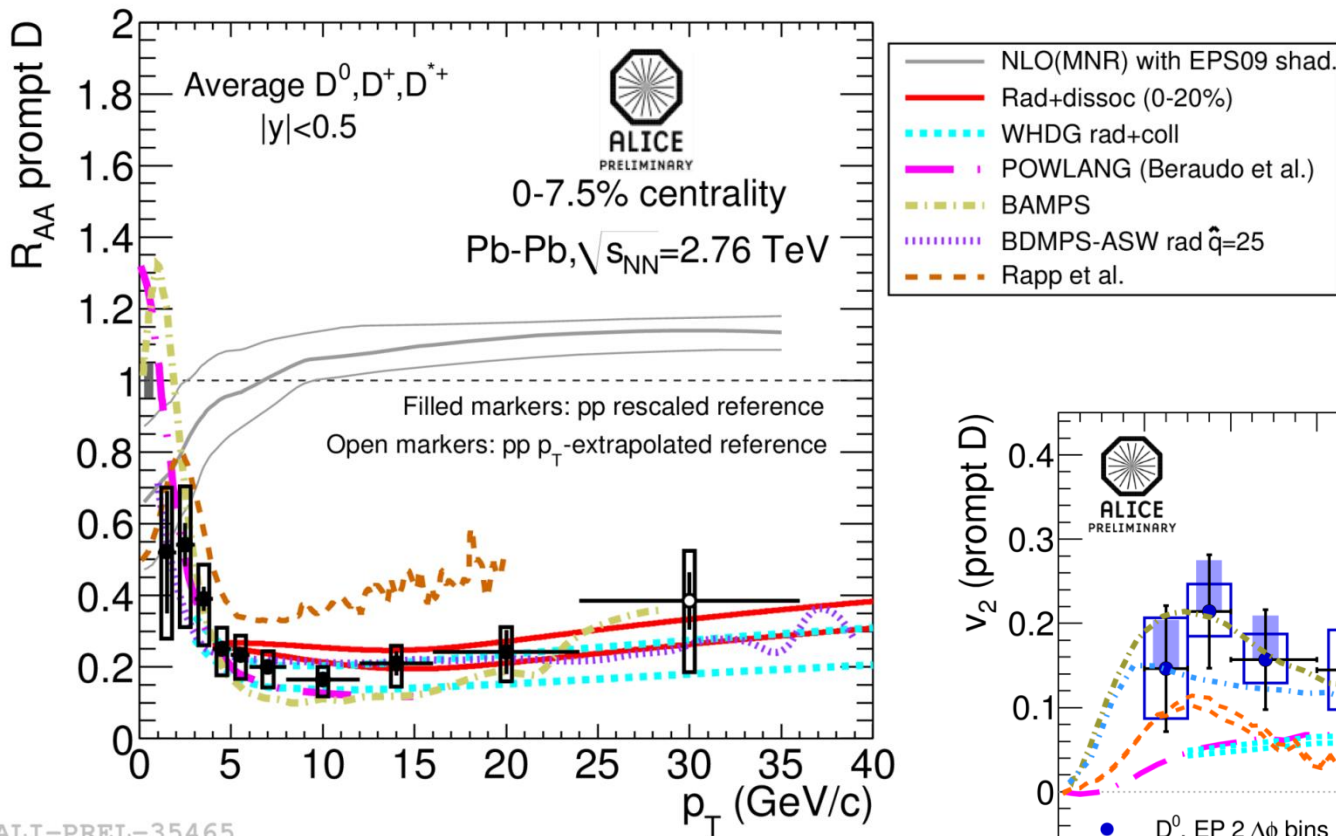
Average D-meson R_{AA} :

- $p_T < 8$ GeV/c hint of slightly less suppression than for light hadrons
- $p_T > 8$ GeV/c both (all) very similar
- no indication of colour charge dependence

ALI-DER-38713

D meson v_2

Talks by
Z. Conesa del Valle
D. Caffarri



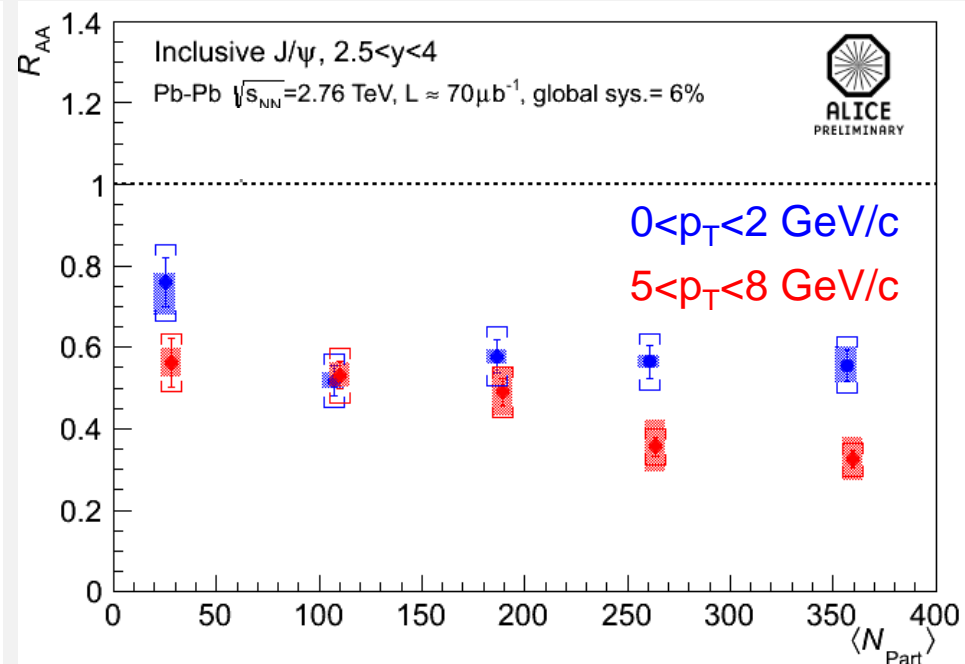
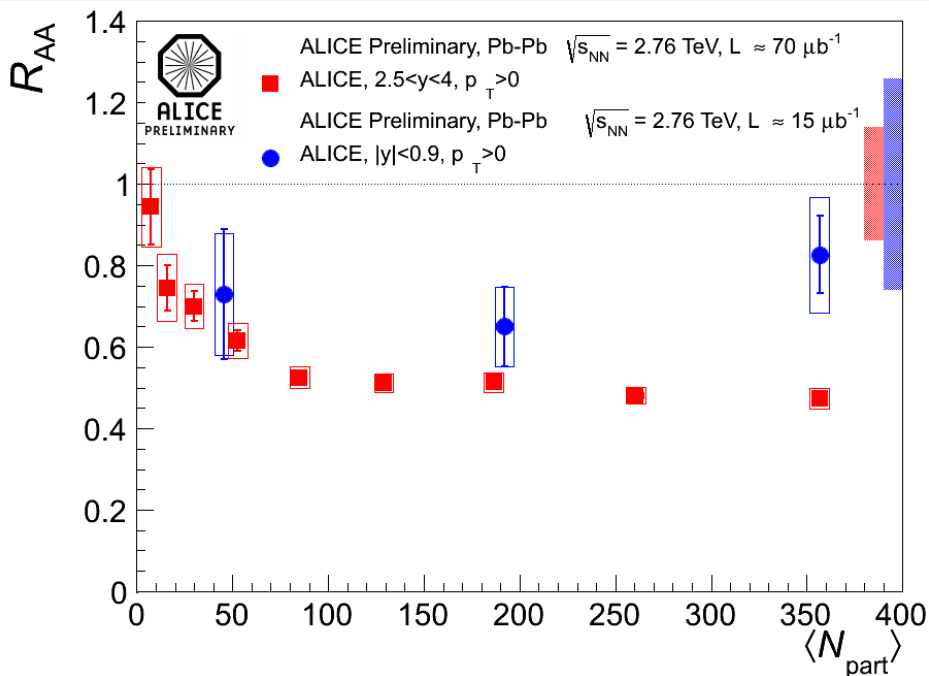
Non-zero D meson v_2 observed
Comparable to that of light hadrons
Expressed as event-plane dependent R_{AA}

Simultaneous description of R_{AA} and v_2
c-quark transport coefficient in medium

ALI-PREL-35465

ALI-PREL-27254

J/ψ R_{AA} centrality dependence

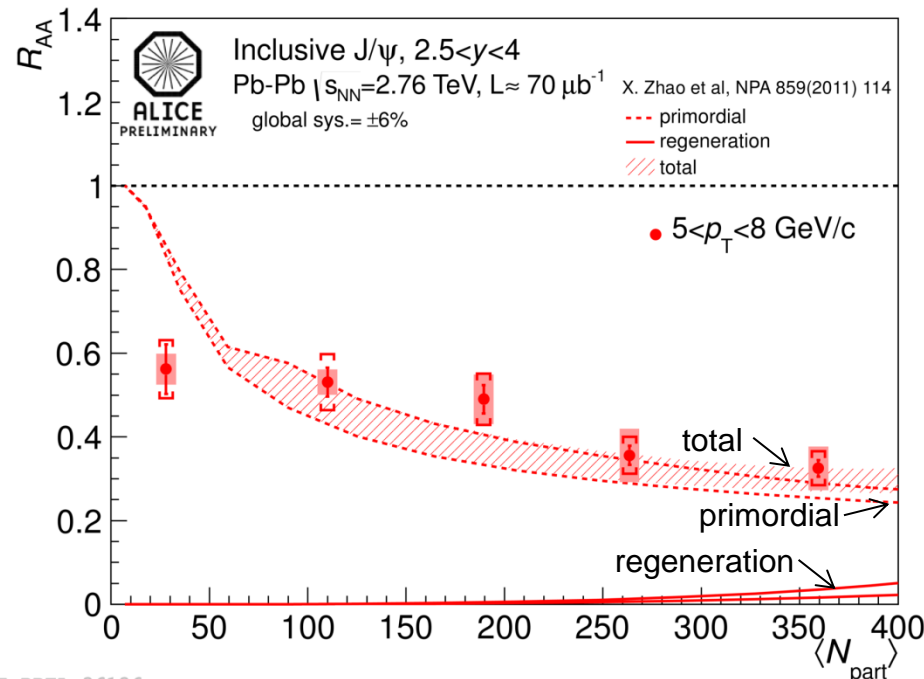
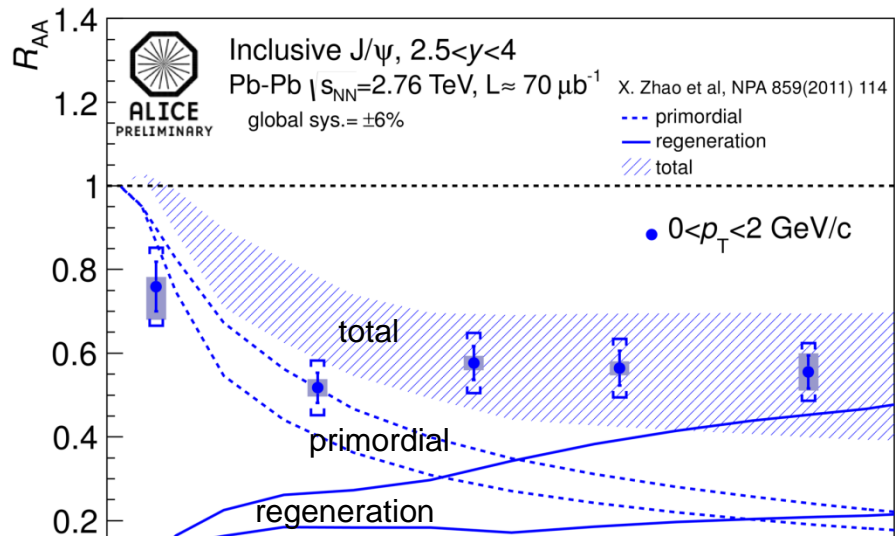


- J/ψ suppression measurements both in central and forward regions
- from $N_{part} > 100$ suppression independent of centrality
- in central collisions, less suppression than at RHIC
- at low p_T (< 2 GeV/c) less suppression than at high p_T , especially in more central collisions

Indication of J/ψ regeneration at low p_T ?

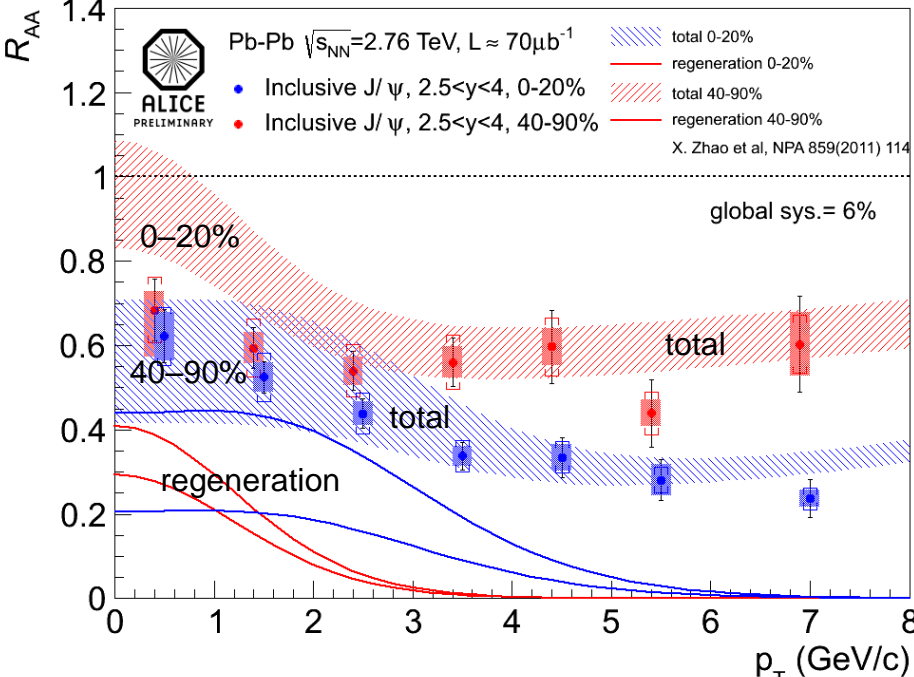
Talks by
 E.Scopinari
 R.Arnaldi
 I.Ch.Arsene

J/ψ R_{AA} vs. centrality and p_T



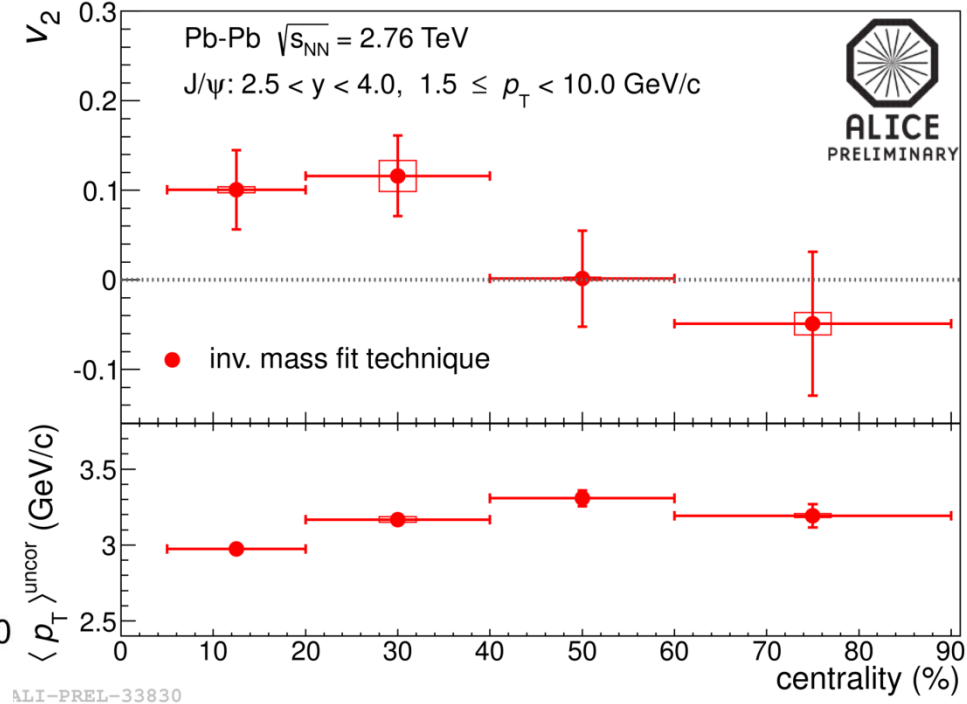
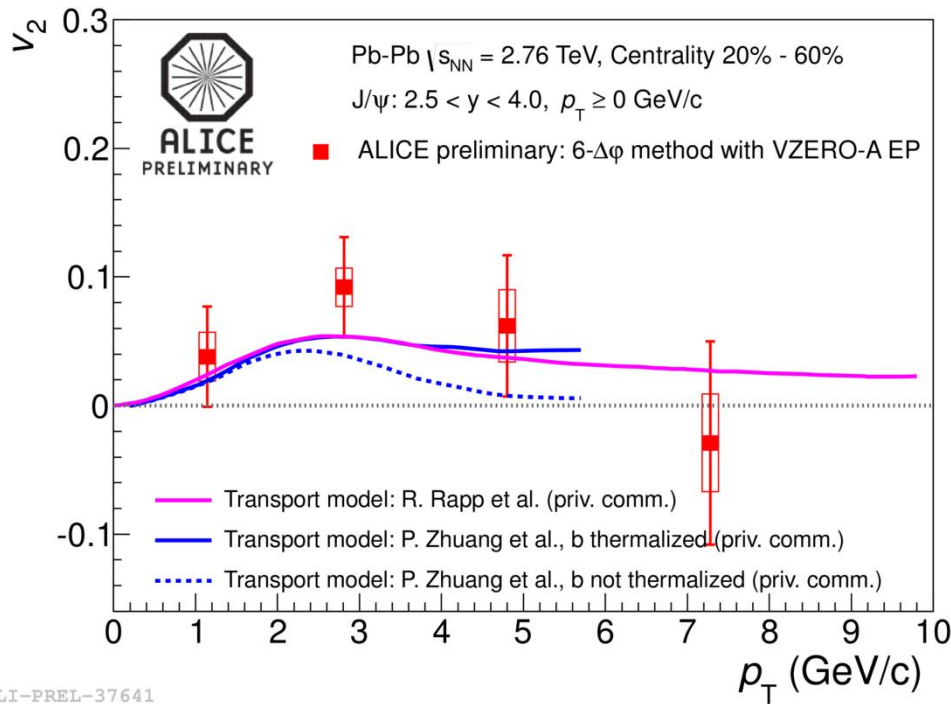
LI-PREL-36136

Comparison to regeneration model:
X.Zhao, R.Rapp NPA 859 114
 Different suppression pattern at low/high- p_T
 At low p_T ~50% J/ψ from recombination
 Fair agreement for different centralities
 Statistical hadronization model also describes the data: *P.Braun-Munzinger et al.*



Talks by E.Scomparin, R.Arnaldi

J/ψ elliptic flow

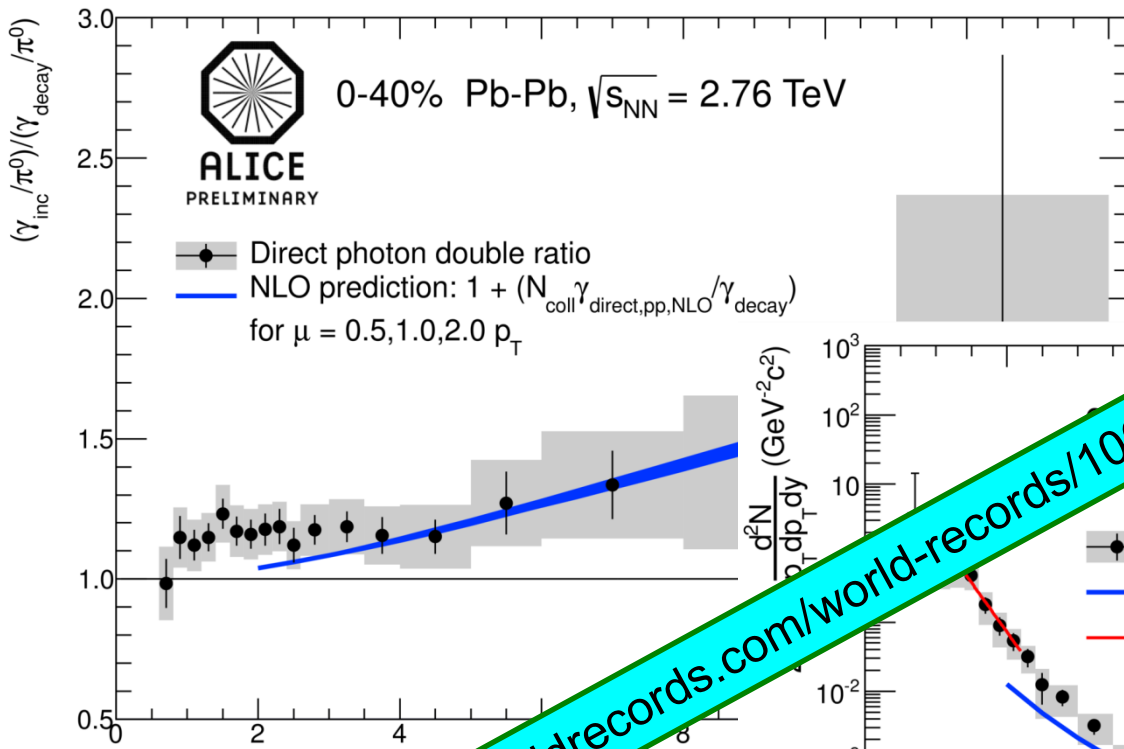


J/ψ produced by recombination of thermalized c-quarks should have non-zero elliptic flow

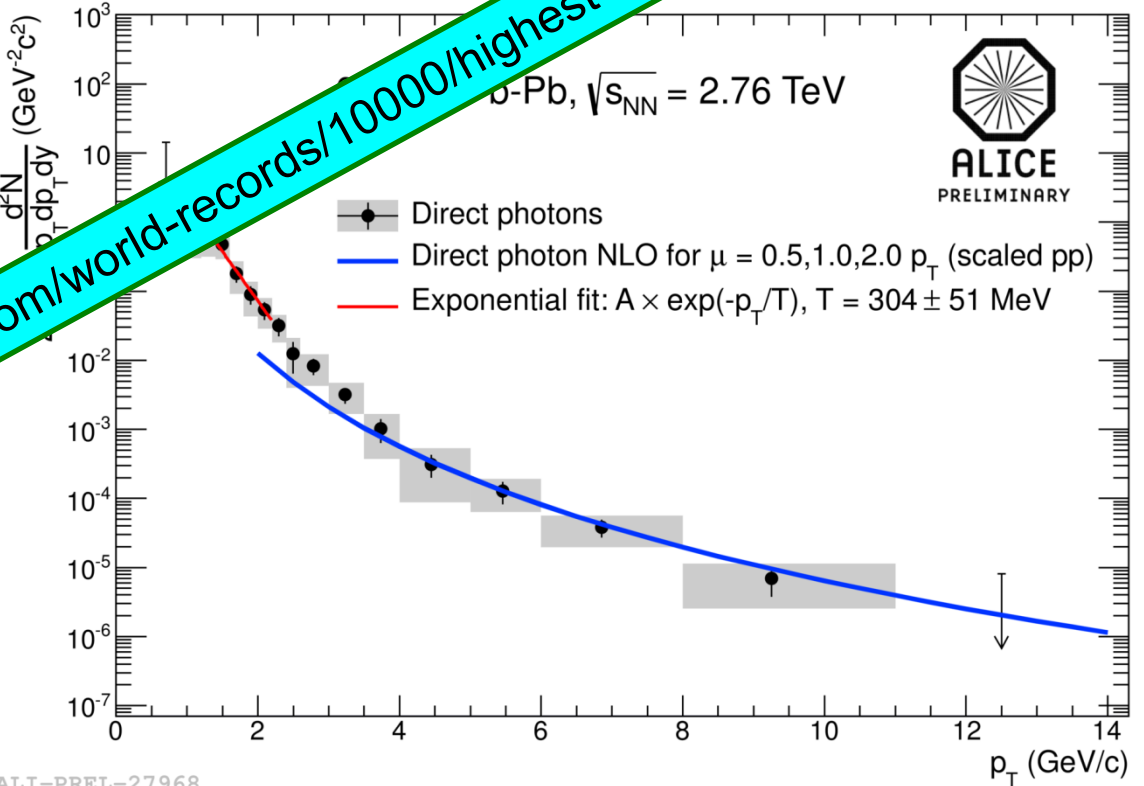
- measurements give a hint for non-zero v_2
- qualitative agreement with transport models, including regeneration
- complementary to indications obtained from $J/\psi R_{AA}$ studies

Talks by
E. Scapparini
H. Yang

Direct photon production



Exponential fit for $p_T < 2.2$ GeV/c
 inv. slope $T = 304 \pm 51$ MeV
 for 0-40% Pb-Pb at $\sqrt{s_{NN}} = 2.76$ TeV
 PHENIX: $T = 200 \pm 19$ MeV
 for 0-20% Au-Au at $\sqrt{s} = 200$ GeV



$p_T < 2$ GeV/c
 ~20% of direct photons
 agreement with N_{coll} -scaled NLO

Talk by M.R.Wilde

ALI-PREL-27968

ALICE future plans



Precision measurement of the QGP parameters at $\mu_b = 0$ to fully exploit scientific potential of the LHC – unique in:

- large cross sections for hard probes
- high initial temperature

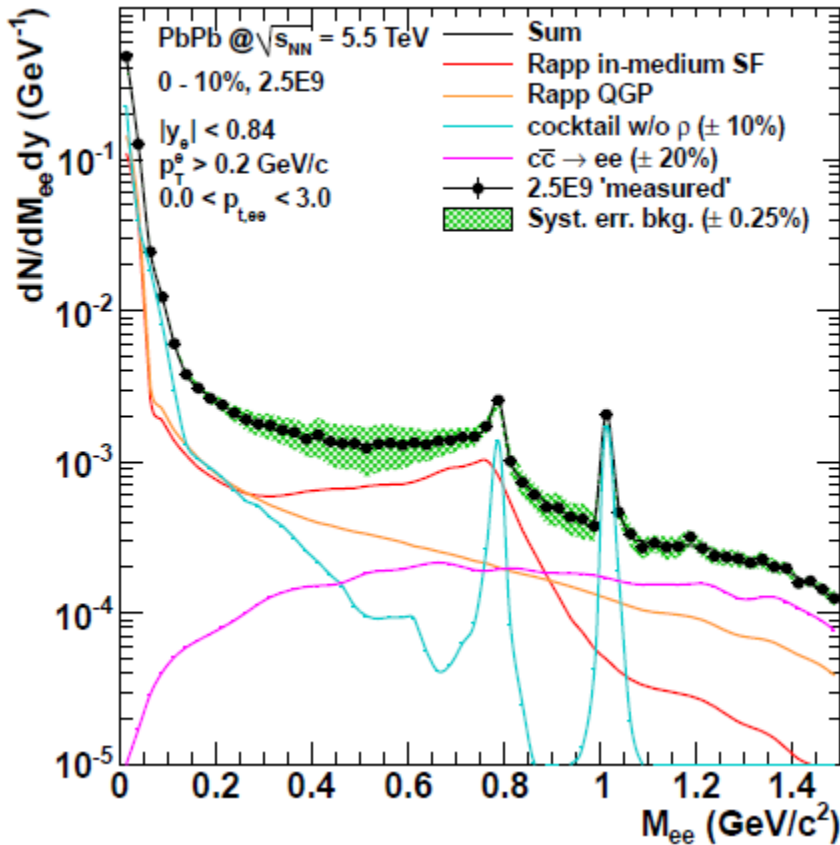
• Main physics topics, uniquely accessible with the ALICE detector:

- measurement of heavy-flavour transport parameters:
 - study of QGP properties via transport coefficients (η/s , \hat{q})
- measurement of low-mass and low- p_T di-leptons
 - study of chiral symmetry restoration
 - space-time evolution and equation of state of the QGP
- J/ψ , ψ' , and χ_c states down to zero p_T in wide rapidity range
 - statistical hadronization versus dissociation/recombination

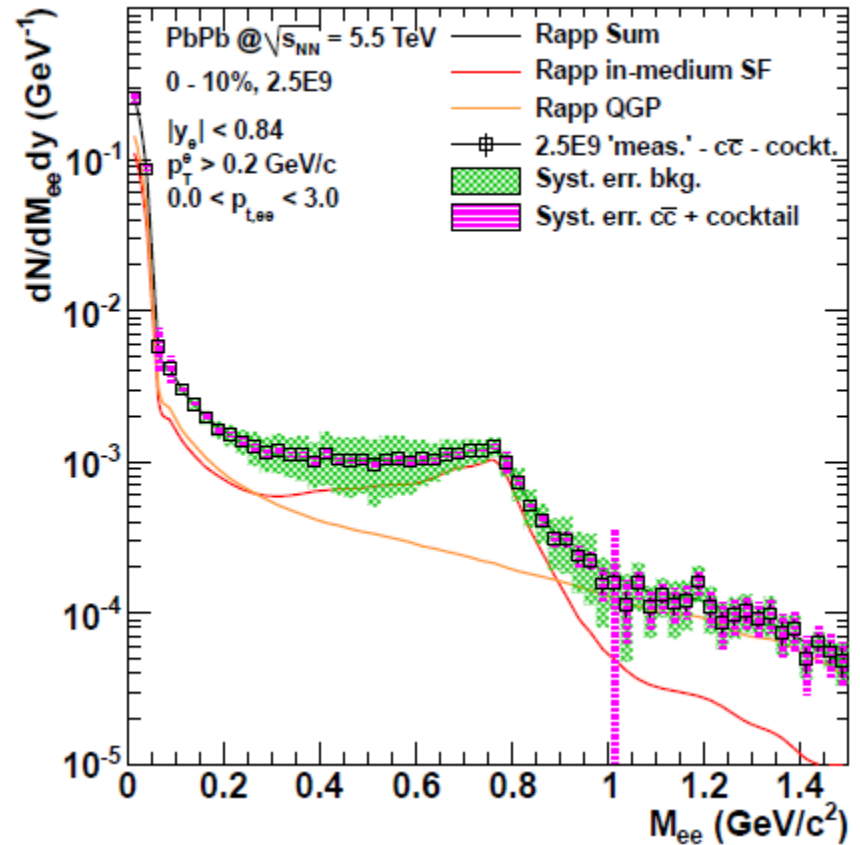
ALICE dielectrons



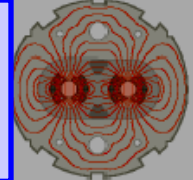
inclusive dielectron invariant mass



... excess after subtraction



new ITS and high-rate upgrade, with “tight” impact parameter cut...



Common Questions

⇒ generation of mass

☆ elementary particles ⇒ Higgs ⇒ ATLAS/CMS

☆ composite particles ⇒ QGP ⇒ ALICE

⇒ missing symmetries

☆ SuperSymmetry: matter \leftrightarrow forces ⇒ ATLAS/CMS

☆ Chiral Symmetry: mass of light quarks ⇒ ALICE

☆ CP Symmetry: matter \leftrightarrow antimatter ⇒ LHC-B

Different Approaches

⇒ 'Concentrated Energy'

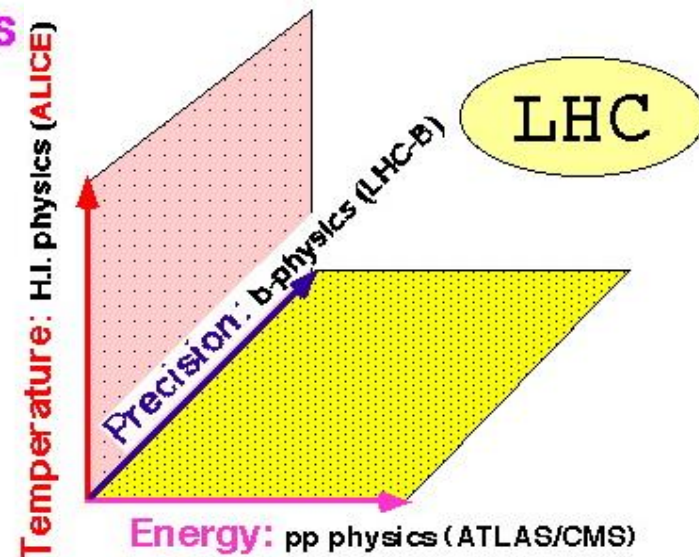
⇒ (single) high mass particles

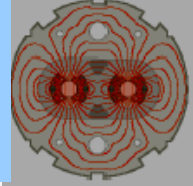
⇒ 'Distributed Energy'

⇒ interaction between matter & vacuum

⇒ 'Borrowed Energy'

⇒ indirect effects of very high mass particles





Big Bang \leftrightarrow Little Bangs

- The matter content of the Universe

Dark matter

Dark energy

Origin of matter

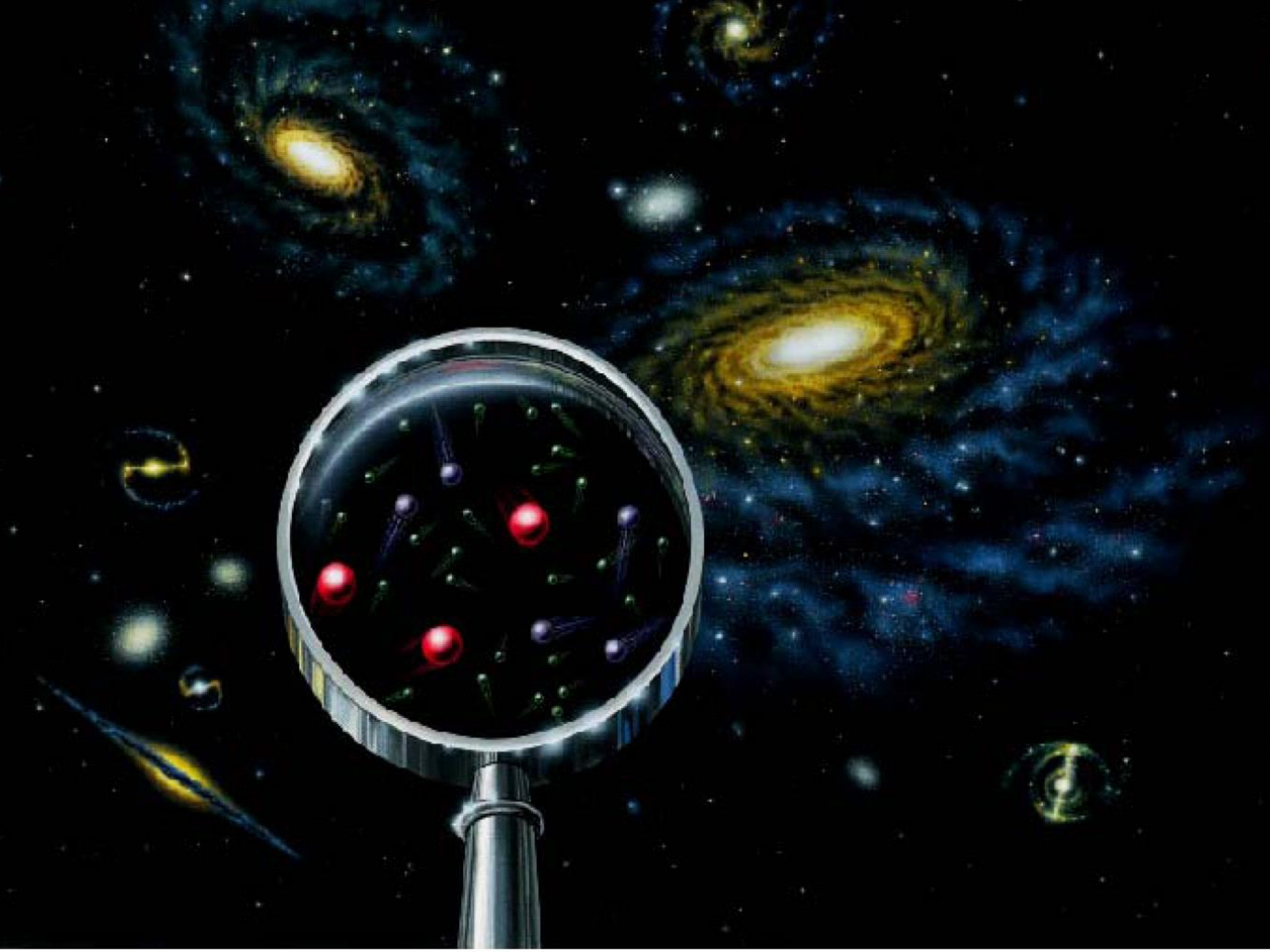
- Experiments at particle colliders

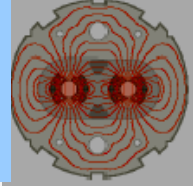
Early Universe

Supersymmetry

Matter-antimatter
asymmetry

Learn particle physics from the Universe
Use particle physics to understand the Universe





- ◆ **LHC a všetky experimenty pracuju tri roky perfektne**
 - intezity zväzkov a množstvo zaznamenaných zrážok oveľa nad očakávanie
 - prvé fyzikálne výsledky publikované
 - presne potvrdenie štandardného modelu
 - Higgsov bozon nájdený – podľa predpovedi hmotnosť ~ 125 GeV
 - fluktácie v počiatočnom stave v zrážkach ťažkých ionov
 - dosiahnuta teplota v zrážkach ťažkých ionov ~ 300 MeV
- ◆ **Looking forward to explore the ‘terra incognita’ at LHC**

